

Vysoká škola:

VŠST Liberec

Fakulta:

strojní

Katedra:

technické kybernetiky

Školní rok:

1985/86

ZADÁNÍ DIPLOMOVÉ PRÁCE

(PROJEKTU, UMĚLECKÉHO DÍLA, UMĚLECKÉHO VÝKONU)

pro

Se Libera S v ě s h o t u

obor

23-40-8 ASK výrobních procesů ve strojírenství

Vedoucí katedry Vám ve smyslu nařízení vlády ČSSR č. 90/1980 Sb., o státních závěrečných zkouškách a státních rigorózních zkouškách, určuje tuto diplomovou práci:

Název tématu: **Algoritmus adaptivního regulátoru na mikropočítači
SAPI 1**

Zásady pro vypracování:

1. V literatuře prestudujte problematiku číslicové a adaptivní číslicové regulece lineárních dynamických soustav.
2. Prestudujte ve výzkumné zprávě KTK-0115 algoritmus adaptivního číslicového regulátoru, který využívá dvouetapové metody identifikace soustavy v uzavřené regulační smyčce.
3. Dle pokynů vedoucího práce naprogramujte část algoritmu uvedeného adaptivního regulátoru na mikropočítači SAPI 1.
4. Spusťte svůj program s dalšími programy, které poskytne vedoucí práce.

V 33. /86 S

VYSOKÁ ŠKOLA STROJNÍ A TEXTILNÍ
Ústřední knihovna
LIBEREC 1, STUDENTSKÁ 5
PSČ 461 17

Rozsah grafických prací:

Rozsah průvodní zprávy: 40 - 50 stran

Seznam odborné literatury:

- 1/ Hanuš, B. a kol.: Teorie automatického řízení I. Skripta VŠST Liberec, 1982.
- 2/ Hanuš, B., Balda, M. a kol.: Základy technické kybernetiky. Skripta VŠST Liberec, 1980.
- 3/ Janeček, B.: Návrh vhodných způsobů řízení vyššího typu, zvláště pak typu adaptivního pro energetické procesy. Výzkumná zpráva KTK-O115, VŠST Liberec, 1984.

Vedoucí diplomové práce: Ing. Bedřich Janeček

Datum zadání diplomové práce: 4.10.1985

Termín odevzdání diplomové práce: 23.5.1986

Přednosta katedry: Prof. Ing. Bořivoj Hanuš, DrSc.

Vedoucí katedry

Doc. Ing. Ján Alaxin, CSc.

Děkan

v Liberci dne 30.9. 1985

Vysoká škola strojní a textilní v Liberci
nositelka Řádu práce
Fakulta strojní
Obor 23-40-8

Automatizované systémy řízení výrobních procesů
ve strojírenství

Katedra technické kybernetiky

Název diplomové práce

ALGORITMUS ADAPTIVNÍHO REGULÁTORU NA MIKROPOČÍTAČI SAPI 1

KTK ASR-SF-124

Jméno a příjmení autora: Libor SVĚCHOTA

Vedoucí práce: Ing. Bedřich JANEČEK, CSc., KTK VŠST LIBEREC

Rozsah práce a příloh

Počet stran : 66

Počet příloh : 3

Počet obrázků: 16

Počet tabulek: 5

Datum: 23.5.1986

Místopřísežně prohlašuji, že jsem diplomovou práci
vypracoval samostatně s použitím uvedené literatury.

V Liberci, dne 23. května 1986

A handwritten signature in black ink, appearing to read "Ladislav Štěpán".

Poděkování

Děkuji svému vedoucímu práce a konzultantovi Ing. Bedřichu Janečkovi, CSc., pracovníkovi KTK VŠST Liberec, za odbornou pomoc, cenné rady a připomínky k diplomové práci. Dále mu děkuji za poskytnutí programů, ze kterých jsem při řešení diplomové práce vycházel.

OBSAH

	strana
Úvodní list	1
Úřední zadání	2
Místopřísežné prohlášení	3
Poděkování	4
Obsah	5
Seznam použitých symbolů a pojmu	7
1. Úvod	9
2. Číslicové systémy řízení	10
3. Úvodní popis obsahu práce	12
4. Uvedení problematiky	16
5. Číslicový regulátor	21
5.1 Návrh diferenční rovnice regulátoru	25
5.2 Návrh regulátoru na poruchy vstupující do regulačního obvodu filtrem s přenosem $\frac{H}{C}$	30
6. Identifikace soustav	32
6.1 Identifikace soustavy v uzavřeném regulačním obvodu	33
6.2 Identifikace váhové funkce	34
7. Adaptivní systémy	39
7.1 Adaptivní regulátory	40
7.2 Adaptivní regulátor s identifikací váhové funkce	41

8.	SAPI 1 - systém pro automatické měření a sběr dat	43
8.1	Popis systému SAPI 1	44
8.2	Deska mikropočítače JPR 1	45
8.3	Programové vybavení SAPI 1	47
8.4	Současný stav vývoje a výroby systému SAPI 1	47
9.	Ověřovací a kontrolní výpočty	49
10.	Popis příloh	58
11.	Závěr	62
	Seznam použité literatury	64
	Seznam příloh	66

SEZNAM POUŽITÝCH SYMBOLŮ A POJMŮ

A/Č	analogo-číslicový převodník
\hat{b}	koeficienty modelu soustavy
C	řídící počítač (číslicový)
Č/A	číslico-analogový převodník
d	porucha
e	chyba predikce
e	regulační odchylka (spojitá veličina)
e*	regulační odchylka (diskrétní veličina)
F	přenos soustavy
g	váhová funkce soustavy
H	tvarovač
j	celočíselná proměnná, která má charakter času
k	diskrétní dopravní zpoždění
p	Laplaceův operátor
P	porovnávač
q	kladný váhový koeficient
R	matice regulátoru
s	komplexní proměnná
S	regulovaná soustava
t	čas
T	transformační matice
ΔT	perioda vzorkování
T_d	dopravní zpoždění (spojitá veličina)
T_f	časová konstanta filtru
T_s	časová konstanta soustavy
u	akční veličina (spojitá)
Δu	přírůstek akční veličiny
u^*	akční veličina (diskrétní)
w	žádaná veličina
x	vektor stavu soustavy

- y regulovaná veličina (též se nazývá regulační odchylka,
viz text)
 \hat{y} predikce - předpověď regulované veličiny
 y^* výstupní měřitelná veličina soustavy
 y^{**} výstupní neměřitelná veličina soustavy
 z komplexní proměnná
 \underline{z} vektor pozorování
 $\delta(t)$ Diracova funkce (jednotkový impuls)
 $\eta(t)$ Heavisideova funkce (jednotková funkce, jednotkový skok)
 v elementární jev experimentu
 λ počet identifikovaných koeficientů polynomu \hat{B}
 σ_d^2 rozptyl diskrétního bílého šumu
 σ_e^2 rozptyl chyby predikce
 σ_u^2 rozptyl ergodického stacionárního náhodného procesu Δu
 nebo $\Delta u(j, v)$
 σ_y^2 rozptyl ergodického stacionárního náhodného procesu Y
 nebo $y(j, v)$
 Σ sumátor
 $\Delta \tau$ čas průchodu informace regulátorem
 $\hat{\equiv}$ rovnítko ve smyslu zavedení značení

1. ÚVOD

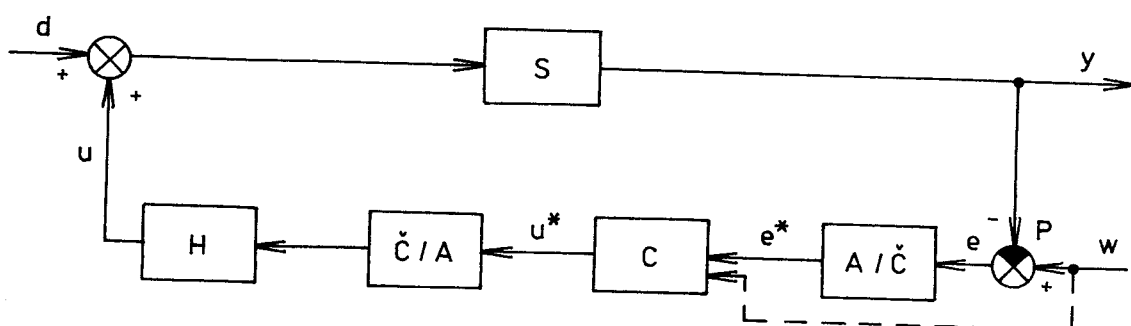
S rozvojem automatizace průmyslové výroby nabývá stále většího významu teorie automatické regulace spojitéch výrobních procesů - spojitéh dynamických soustav. Tato teorie se využívá při projektech a návrzích regulace spojitéh dynamických soustav v energetice, chemii, hutnictví, dopravě, ve strojírenském a papírenském průmyslu a pod. Rozvoj elektrotechniky a mikroelektroniky vyvolává zájem o číslicové a adaptivní číslicové regulátory, které jsou schopny realizovat řízení tzv. vyššího typu. Ve srovnání s klasickými jednorázově nastavenými PID regulátory, splňují číslicové a adaptivní číslicové regulátory vyšší požadavky na kvalitu a přizpůsobivost regulace. Číslicové a adaptivní číslicové regulátory jsou realizovány na číslicových členech - na řídících počítačích nebo na mikropočítačích, s regulovanou soustavou jsou spojeny analogo-číslicovými a číslico-analogovými převodníky.

Použití počítačů při řízení a regulaci výrobních procesů předpokládá nejen velmi spolehlivé a rychlé samočinné počítače, ale zejména též aby byly ujasněny všechny technologické, ekonomické a dynamické otázky výroby. Je samozřejmé, že samočinné počítače použijeme především k řízení velmi složitých výrobních pochodů, jestliže se řízení použitím této techniky zjednoduší nebo zkvalitní, nebo tam, kde bez samočinných počítačů nelze vyhovět náročným požadavkům na automatizaci provozu.

2. ČÍSLICOVÉ SYSTÉMY ŘÍZENÍ

Číslicové systémy řízení spojitéch regulovaných soustav pracují nejčastěji jako systémy impulsní tj. v pravidelných časových intervalech získávají informaci a získanou informaci zpracovávají.

Při analýze předpokládejme blokové schéma impulsního obvodu s řídicím počítačem podle obr. 2-1 s regulovanou veličinou y , žádanou hodnotou w , akční veličinou u a poruchou d . Skutečná regulovaná veličina y se porovnává v porovnávači P s žádanou hodnotou, čímž vzniká regulační odchylka e ($e = w - y$), která se v analogo-číslicovém převodníku, pracujícím jako vzorkovač, přemění na číselnou hodnotu e^* , vstupující do počítače C .



Obr. 2-1 Blokové schéma impulsního obvodu

- S - regulovaná soustava
- C - řídicí počítač
- A/Č - analogo-číslicový převodník
- Č/A - číslico-analogový převodník
- P - porovnávač
- H - tvarovač

Vzorkuje se na začátku každého vzorkovacího intervalu. Z matematického hlediska považujeme tuto hodnotu za velikost Diracova impulsu. Regulační odchylka se v počítači zpracuje na výstupní číselnou veličinu u^* , která opět z matematického hlediska představuje Diracův impuls. Tato veličina se v číslicovo-analogovém převodníku a tvarovači H obvykle převádí na pulsy u o šířce rovné krokovacímu intervalu a výšce odpovídající hodnotě číselného výstupu počítače u^* . (Takový tvarovač je lineární a nazývá se tvarovačem nultého řádu).

Ve skutečných realizacích se žádaná hodnota w zavádí do počítače přímo (čárkovaně vyznačeno na obr. 2-1). To dává i možnost různého zpracování regulované veličiny y a žádané hodnoty w a tím dosáhnout dalšího zlepšení regulace.

3. ÚVODNÍ POPIS OBSAHU PRÁCE

Předložená diplomová práce byla vypracována při řešení státního výzkumného úkolu III-8-5/04 "Adaptivní řízení tepelně technických soustav", což je dílčí úkol nadřazeného výzkumného úkolu základního výzkumu III-8-5 "Teorie a algoritmy adaptivního řízení", který je koordinován Československou akademii věd - Ústavem teorie informace a automatizace v Praze.

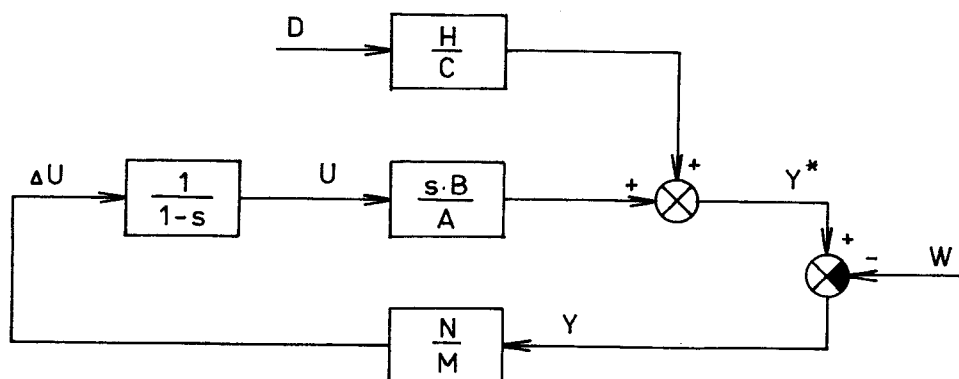
V předložené práci je diskutována číslicová a adaptivní číslicová regulace lineárních dynamických spojitych soustav. Diplomová práce využívá výsledků výzkumné zprávy KTK - 0115 vypracované na katedře technické kybernetiky na VŠST v Liberci.

Tematiku diskutovanou v předložené práci můžeme rozdělit do tří částí:

- 1) návrh diferenční rovnice regulátoru vzhledem k minimalizační zvoleného kvadratického kritéria při použití metody dynamického programování,
- 2) identifikace modelu soustavy v uzavřeném regulačním obvodu metodou nejmenších čtverců,
- 3) spojení návrhu diferenční rovnice regulátoru a identifikace modelu soustavy do algoritmu adaptivního regulátoru.

Pro popis uzavřeného číslicového regulačního obvodu, tzn. i pro popis soustavy a vstupujících náhodných poruch -- náhodných diskrétních procesů, je použita terminologie, která vychází z popisu soustav impulsními přenosy, nebo blokového znázornění regulačního obvodu. Problematika práce je diskutována pro soustavy s jednou vstupní a jednou výstupní veličinou.

Blokové schéma na obr. 3-1 znázorňuje diskutovaný číslicový regulační obvod. Blok s impulsním přenosem $\frac{H}{C}$ je v práci nazván filtrem, blok s impulsním přenosem $\frac{s \cdot B}{A}$ je nazván soustavou a blok s impulsním přenosem $\frac{N}{M}$ je regulátor. A, B, C, H, M, N jsou polynomy proměnné $s = z^{-1}$, kde z je komplexní proměnná Z-transformace. Písmeny D, U, ΔU , Y^* , Y, W jsou označeny veličiny, které též označujeme $d(j)$, $u(j)$, $\Delta u(j)$, $y^*(j)$, $y(j)$, $w(j)$. Uvažujeme, že tyto veličiny jsou reálnými diskrétních náhodných procesů $d(j,\nu)$, $u(j,\nu)$, $\Delta u(j,\nu)$, $y^*(j,\nu)$, $y(j,\nu)$, $w(j,\nu)$, kde ν je tzv. elementární jev experimentu.



Obr. 3-1

- Popišme názvy jednotlivých posloupností - veličin:
- $d(j)$ - poruchová veličina
 - $u(j)$ - vstupní veličina do soustavy, nazývá se též veličina řídicí nebo akční
 - $\Delta u(j)$ - přírůstek vstupní veličiny do soustavy
 - $y^*(j)$ - výstupní měřitelná veličina soustavy

$y(j)$ - regulovaná veličina, nazývá se též regulační odchylkou
 $w(j)$ - žádaná hodnota výstupní veličiny soustavy

Základní úvaha, uvedená v práci, je: $w(j) = \text{konst.}$
pro $j \in (-\infty, \infty)$ a $d(j, \tau)$ je diskrétní bílý šum, $d(j, \tau)$ je myšlenou - fiktivní poruchovou veličinou.

Úloha návrhu regulátoru pro obvod z obr. 3-1, do kterého vstupuje diskrétní bílý šum, je převedena na návrh regulátoru pro tento obvod, do kterého při nulových počátečních podmínkách vstoupí impulsní porucha

$$d(j) = \begin{cases} 1 & \text{pro } j=0, \\ 0 & \text{pro } j \neq 0, \end{cases} \quad \text{a } w(j) = 0 \text{ pro } j \in (-\infty, \infty)$$

V tomto případě písmeny D , U , ΔU , Y^* , Y a W jsou na obr. 3-1 označeny Z-transformace posloupností $d(j)$, $u(j)$, $\Delta u(j)$, $y^*(j)$, $y(j)$ a $w(j)$.

Filtrem do uzavřeného regulačního obvodu vstupují myšlené náhodné poruchy - diskrétní bílý šum. Impulsní přenos filtru určuje charakteristiky náhodných poruch, které vystupují z filtru a vstupují do uzavřeného regulačního obvodu. Náhodné poruchy a v tomto případě i všechny veličiny v uzavřeném regulačním obvodu jsou náhodnými procesy. Diferenční rovnice soustavy a filtru je ARMAX modelem soustavy, viz /1/.

Pro návrh regulátoru je v předložené práci použita metoda dynamického programování, jejíž částí je algoritmus LD rozkladu symetrické matice. V metodě dynamického programování je třeba použít stavový popis soustavy. Při návrhu regulátoru vycházíme z diferenční rovnice soustavy. Z této diferenční rovnice je vytvořen stavový popis soustavy, kde jedna stavová veličina je výstupní veličinou soustavy a ostatní stavové veličiny jsou lineární kombinací hodnot vstupní a výstupní veličiny soustavy, viz /13/. Při tomto stavovém popisu soustavy je možno pro návrh regulátoru

použít kritérium váženého součtu kvadrátů regulované veličiny a kvadrátů přírůstků vstupní veličiny soustavy. V práci je uveden postup výpočtu diferenční rovnice regulátoru z rovnice regulátoru, který pracuje s uvažovaným vektorem stavu soustavy. Návrh diferenční rovnice regulátoru je proveden i pro soustavu a filtr, jejichž diferenční rovnice je ARMAX modelem soustavy.

Dále je v předložené práci diskutována identifikace váhové funkce modelu soustavy - prediktoru výstupní veličiny soustavy metodou nejmenších čtverců v uzavřeném regulačním obvodu. V práci je použita navržená metoda výpočtu diferenční rovnice modelu soustavy a filtru - ARMAX modelu soustavy ze dvou váhových funkcí, viz /5/. V prvé části této metody je identifikována jedna váhová funkce při zapojeném regulátoru v uzavřené zpětné vazbě. V druhé části metody je identifikována druhá váhová funkce při použití jiného regulátoru. Nakonec je v diplomové práci diskutován adaptivní regulátor s identifikací váhové funkce.

4. UVEDENÍ PROBLEMATIKY

V práci je diskutována číslicová a adaptivní číslicová regulace spojitéch lineárních dynamických soustav. Spojitou lineární dynamickou soustavu budeme v následujícím textu většinou nazývat pouze soustavou, číslicový regulátor budeme nazývat pouze regulátorem. Pod pojmem regulace budeme rozumět regulaci v uzavřeném regulačním obvodu. Budeme uvažovat, že do soustavy - do regulačního obvodu, viz obr. 4-1, vstupují náhodné poruchy.

Diskutujme nejprve základní rovnici popisující soustavu, která je zapojena v číslicovém regulačním obvodu. Uvažujme, že soustava je popsána diferenční rovnicí

$$y(j) + a_1 \cdot y(j-1) + a_2 \cdot y(j-2) + \dots + a_{v-1} \cdot y(j-v+1) = b_0 \cdot u(j-1) + b_1 \cdot u(j-2) + \dots + b_{v-1} \cdot u(j-v), \quad (4-1)$$

koefficienty a_1, a_2, \dots, a_{v-1} ; b_0, b_1, \dots, b_{v-1} jsou reálná čísla, $a_{v-1} \neq 0$ nebo $b_{v-1} \neq 0$, v je konečné číslo, j je celočíselná proměnná, která má charakter času. $y(j)$ a $u(j)$ jsou posloupnosti čísel; $y(j)$ je výstupní veličina ze soustavy; $u(j)$ je vstupní veličina do soustavy.

Uvažujme nulové počáteční podmínky $y(j) = 0$ a $u(j) = 0$ pro $j < 0$ a provedme Z-transformaci, viz /12/, rovnice (4-1). Z důvodu zjednodušení místo komplexní proměnné z^{-1} dosadíme s , $s = z^{-1}$. Z-transformace rovnice (4-1) je

$$A \cdot Y = s \cdot B \cdot U, \quad (4-2)$$

A a B jsou polynomy,

$$A = 1 + a_1 \cdot s + a_2 \cdot s^2 + \dots + a_{v-1} \cdot s^{v-1},$$

$$B = b_0 + b_1 \cdot s + b_2 \cdot s^2 + \dots + b_{v-1} \cdot s^{v-1}.$$

Y a U jsou mocninné řady s nezápornými mocninami komplexní proměnné s.

$$Y = y(0) + y(1) \cdot s + y(2) \cdot s^2 + \dots = \sum_{j=0}^{\infty} y(j) \cdot s^j \quad (4-3)$$

$$U = u(0) + u(1) \cdot s + u(2) \cdot s^2 + \dots = \sum_{j=0}^{\infty} u(j) \cdot s^j \quad (4-4)$$

Rovnice (4-1) při uvažovaných nulových počátečních podmínkách popisuje soustavu pro libovolnou vstupní posloupnost $u(j)$, $j \geq 0$. Řadu Y při znalosti řady U a při znalosti polynomů A , B a při nulových počátečních podmínkách vypočteme z rovnice

$$Y = \frac{s \cdot B}{A} \cdot U . \quad (4-5)$$

Uvažujme dělení polynomů

$$\begin{aligned} s \cdot B : A &= s \cdot (b_0 + b_1 \cdot s + \dots + b_{v-1} \cdot s^{v-1}) : (1 + a_1 \cdot s + \dots + a_{v-1} \cdot s^{v-1}) = \\ &= g(1) \cdot s + g(2) \cdot s^2 + \dots = s \cdot \sum_{j=1}^{\infty} g(j) \cdot s^{j-1} = s \cdot G . \end{aligned} \quad (4-6)$$

Posloupnost $g(j)$ a nekonečnou řadu $s \cdot G$ nazveme váhovou funkcí soustavy. Racionální lomenou funkci $\frac{s \cdot B}{A}$ nazveme impulsním přenosem soustavy. Tento impulsní přenos budeme v textu označovat též podílem $\frac{Y}{U}$. Rovnici (4-5) zapíšeme

$$Y = s \cdot G \cdot U , \quad (4-7)$$

kde Y , $s \cdot G$ a U jsou nekonečné řady.

Je možno ukázat, že

$$y(j) = g(1) \cdot u(j-1) + g(2) \cdot u(j-2) + \dots + g(j) \cdot u(0) = \sum_{k=1}^j g(k) \cdot u(j-k) , \quad j > 0 , \quad (4-8)$$

což je tzv. konvoluce při podmínce $y(j) = 0$ a $u(j) = 0$ pro $j < 0$, pro diskutovanou úlohu je $y(0) = 0$.

Předpokládejme, že do stabilní soustavy, která je popsána rovnicí (4-1) vstupuje libovolná ohraničená posloupnost $u(j)$, $j \in (-\infty, \infty)$, $|u(j)| < k$, k je zvolené reálné číslo, nebo posloupnost $u(j)$, která je realizací stacionárního náhodného procesu. Na základě předcházející diskuse můžeme říct, že soustava je popsána konvolucí

$$y(j) = g(1) \cdot u(j-1) + g(2) \cdot u(j-2) + \dots = \sum_{k=1}^{\infty} g(k) \cdot u(j-k), \quad (4-9)$$

j je celé konečné číslo.

Zavedeme-li označení

$$Y = \dots + y(-2) \cdot s^{-2} + y(-1) \cdot s^{-1} + y(0) + y(1) \cdot s + y(2) \cdot s^2 + \dots = \sum_{j=-\infty}^{\infty} y(j) \cdot s^j, \quad (4-10)$$

$$U = \dots + u(-2) \cdot s^{-2} + u(-1) \cdot s^{-1} + u(0) + u(1) \cdot s + u(2) \cdot s^2 + \dots = \sum_{j=-\infty}^{\infty} u(j) \cdot s^j, \quad (4-11)$$

potom pro popis soustavy platí rovnice (4-7) ve smyslu násobení řad $s \cdot G$ a U .

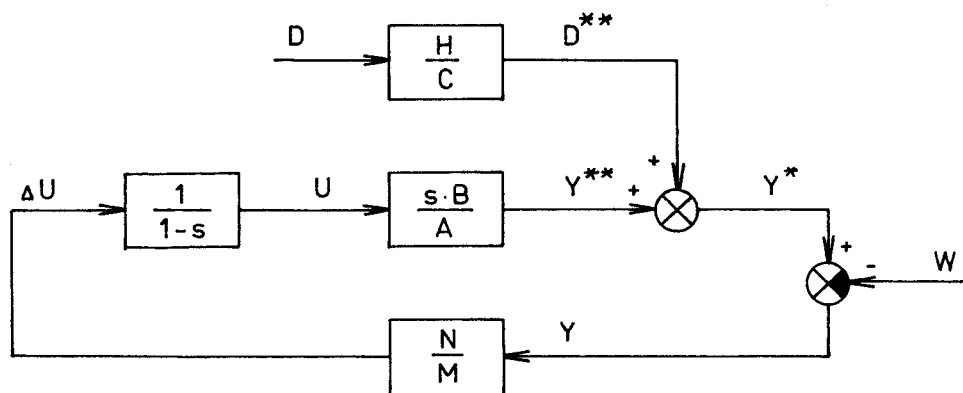
Budeme uvažovat, že v číslicovém regulačním obvodu je zapojen sumátor s impulsním přenosem $\frac{1}{1-s} = \frac{U}{\Delta U}$, viz obr. 4-1, $\Delta U = (1-s) \cdot U$, $\Delta u(j) = u(j) - u(j-1)$, $u(j) = u(j-1) + \Delta u(j)$. Regulátor popíšeme diferenční rovnicí, jejíž Z-transformaci při nulových počátečních podmínkách zapíšeme

$$M \cdot \Delta U = N \cdot Y, \quad \frac{\Delta U}{Y} = \frac{N}{M}, \quad (4-12)$$

M , N jsou polynomy konečného stupně. Metoda výpočtu koeficientů polynomů M , N a určení stupňů těchto polynomů bude uvedena v odst. 5. Budeme uvažovat, že koeficient u nulté mocniny s polynomu M je roven jedné. Jako příklad zapíšeme polynom M , který je 2. stupně,

$$M = 1 + m_1 \cdot s + m_2 \cdot s^2.$$

Uvažujme uzavřený regulační obvod se soustavou s jednou vstupní a jednou výstupní veličinou. Dále uvažujme, že do tohoto regulačního obvodu vstupují náhodné poruchy tak, jak je nakresleno na obr. 4-1.



Obr. 4-1

Na obr. 4-1 blok s impulsním přenosem $\frac{H}{C}$ nazveme filtrem, bloky s impulsními přenosy $\frac{s \cdot B}{A}$, $\frac{N}{M}$ a $\frac{1}{1-s}$ jsou soustava, regulačník a sumátor. A, B, C, H, M, N jsou polynomy proměnné s. Předpokládejme, že impulsní přenos filtru je stabilní, tzn. kořeny polynomu C leží vně jednotkové kružnice. Soustava je také stabilní.

Písmeny D, D**, ΔU, U, Y, Y*, Y**, W jsou na obr. 4-1 označeny řady s kladnými i zápornými mocninami s, které jsou obdobně jako v (4-10) a (4-11) sestaveny z posloupnosti $d(j)$, $d^{**}(j)$, $\Delta u(j)$, $u(j)$, $y(j)$, $y^*(j)$, $y^{**}(j)$, $w(j)$, $j \in (-\infty, \infty)$.

D nebo $d(j)$ je diskrétní bílý šum (myšlená náhodná poruchová veličina)

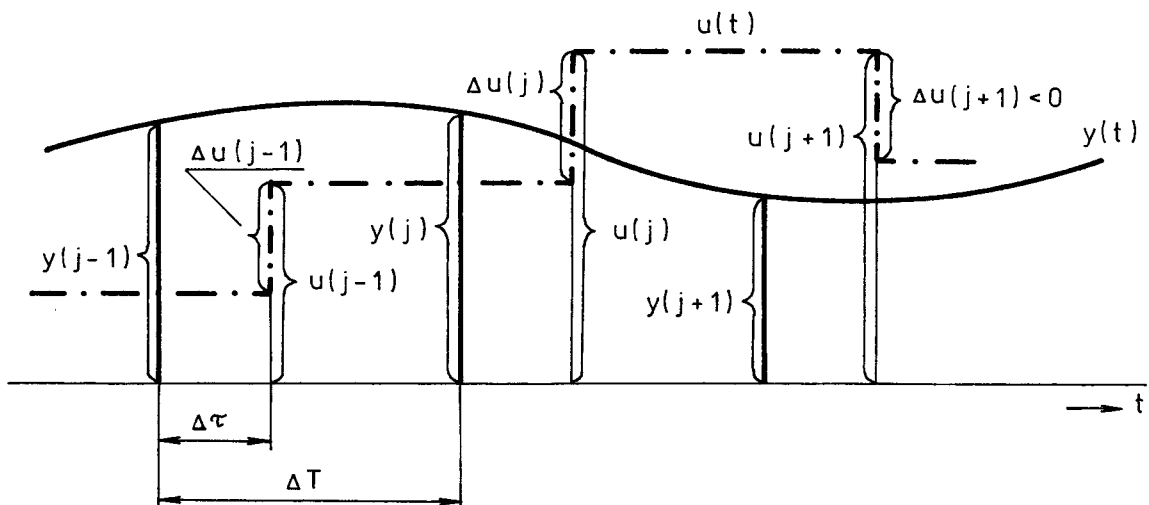
D^{**} nebo $d^{**}(j)$ je poruchová veličina

- ΔU nebo $\Delta u(j)$ je přírůstek akční veličiny
- U nebo $u(j)$ je akční veličina (**vstupní veličina do soustavy**)
- Y^{**} nebo $y^{**}(j)$ je výstupní neměřitelná veličina soustavy
- Y^* nebo $y^*(j)$ je výstupní měřitelná veličina soustavy, budeme ji zkráceně nazývat výstupní veličinou soustavy
- Y nebo $y(j)$ je regulovaná veličina, bývá též nazývána regulační odchylkou
- W nebo $w(j)$ je žádaná hodnota výstupní veličiny soustavy

5. ČÍSLICOVÝ REGULÁTOR

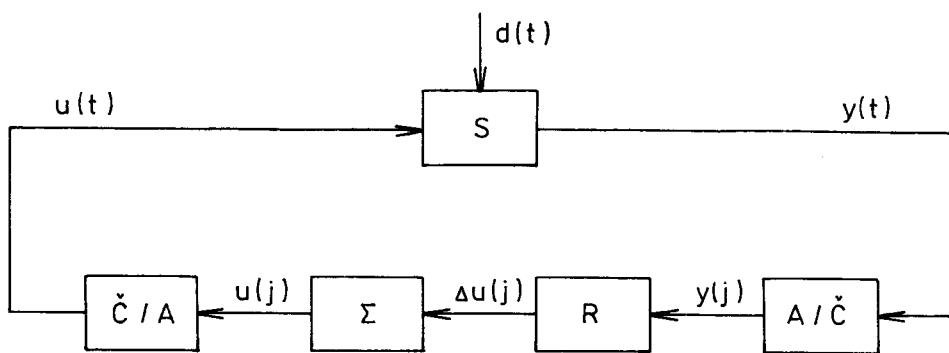
Vysvětlete činnost číslicového regulátoru, který je zapojen v regulačním obvodu. Regulátor s periodou ΔT měří spojitu vstupní veličinu $y(t)$ soustavy; ΔT je perioda měření, vzorkování a je též periodou činnosti regulátoru. Do regulátoru vstupuje posloupnost čísel $y(j) = y(j \cdot \Delta T)$, v časech $t_j = j \cdot \Delta T$, j je celočíselná proměnná, nazveme ji diskrétním časem. Regulátor v čase j změří veličinu $y(j)$. Nyní pod označením $y(j)$ nechápeme posloupnost čísel, ale pouze jeden člen této posloupnosti. Regulátor vypočte $\Delta u(j)$ jako lineární kombinaci $y(j)$, $y(j-1)$, $y(j-2), \dots, \Delta u(j-1)$, $\Delta u(j-2)$ a vypočte též $u(j) = \Delta u(j) + u(j-1)$.

Čas potřebný pro výpočet $u(j)$ označíme $\Delta \tau$, můžeme jej nazvat časem průchodu informace regulátorem. Do regulátoru vstupuje posloupnost hodnot $y(j) = y(j \cdot \Delta T)$ a vystupuje posloupnost hodnot $u(j) = u(j \cdot \Delta T + \Delta \tau)$, viz obr. 5-1. Posloupnost hodnot $u(j)$ je přivedena na číslico-analogový převodník, jehož výstup $u(t)$ je nakreslen na obr. 5-1.



Obr. 5-1

Při návrhu impulsního regulátoru, který reguluje stabilní regulovanou soustavu, je při vstupu poruch s nenulovou střední hodnotou výhodné předpokládat, že regulátor vytváří posloupnost čísel, které udávají přírůstky akční veličiny. Schéma takového obvodu je na obr. 5-2.



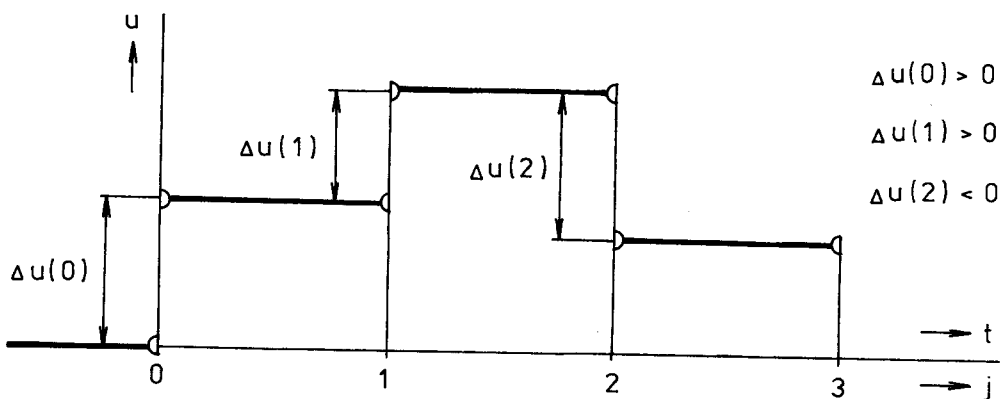
Obr. 5-2 Blokové schéma číslicového obvodu s přírůstkovým regulátorem

Cinnost sumátoru Σ je popsána vztahem

$$u(k) = \sum_{j=0}^k \Delta u(j), \quad u(k) = 0, \quad \Delta u(k) = 0 \quad \text{pro } k < 0. \quad (5-1)$$

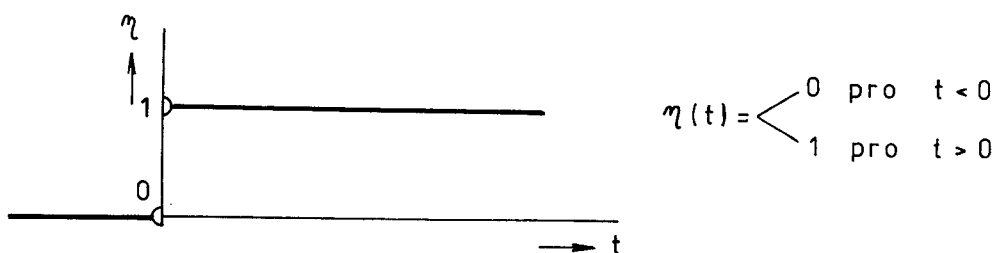
Uvažujme spojitou soustavu, která je zapojena v číslicovém regulačním obvodu, viz obr. 5-2. Posloupnost čísel $u(j)$, vystupující z regulátoru resp. sumátoru je přivedena na číslico-analogový převodník. Součástí algoritmu regulátoru je sumátor, jehož diferenční rovnice je $u(j) = u(j-1) + \Delta u(j)$. Přijde-li v čase $t_j = j \cdot \Delta T$ na číslico-analogový převodník hodnota $u(j)$, na výstupu číslico-analogového převodníku je v čase t , $j \cdot \Delta T < t < (j+1) \cdot \Delta T$, signál, který je určen hodnotou $u(j)$.

Přiřadíme-li posloupnosti čísel $\Delta u(j) = \Delta u(j \cdot \Delta T)$ posloupnost Diracových impulsů $\Delta u(j) \cdot \delta(t - j \cdot \Delta T)$, potom sumátor a číslicovo-analogový převodník tvoří integrátor, jehož přenos v Laplaceové transformaci je $\frac{1}{p}$. Jestliže na tento přenos přivedeme posloupnost Diracových impulsů $\Delta u(j) \cdot \delta(t - j \cdot \Delta T)$, pak výstup $u(t)$ je znázorněn na obr. 5-3.



Obr. 5-3 Výstup z Č/A převodníku při vstupu posloupnosti Diracových impulsů

Obloučky na obr. 5-3 je zdůrazněno, kde hodnota veličiny není určena. Veličinu $u(t)$ vytváříme složením časově posunutých jednotkových funkcí, které jsou vynásobeny hodnotami $\Delta u(j)$. Průběh jednotkové funkce je na obr. 5-4.



Obr. 5-4 Jednotková funkce

Uvažujeme-li spojitou lineární dynamickou soustavu s dopravním spožděním T_d , tj. s přenosem $e^{-T_d \cdot p} \cdot F(p)$, kde $F(p)$ je racionální lomená funkce, pak přenos soustavy, sumátoru a číslicco-analogového převodníku je $\frac{e^{-T_d \cdot p}}{p} \cdot F(p)$. Označme $\frac{1}{p} \cdot F(p) = V(p)$. $V(p)$ je Laplaceovou transformací $v(t)$, $\mathcal{L}\{v(t)\} = V(p)$.

Impulsní přenos soustavy, sumátoru a číslicco-analogového převodníku získáme Z-transformaci posloupnosti, která

$$\text{ze spojité funkce } g(t) = \begin{cases} v(t - T_d) & \text{pro } t \geq T_d, \\ 0 & \text{pro } t < T_d, \end{cases}$$

vznikne tak, že za t dosazujeme $t = j \cdot \Delta T$, $j = 0, 1, 2, \dots$.

Impulsní přenos soustavy, sumátoru a číslicco-analogového převodníku zapišeme

$$\frac{Y}{\Delta U} = \frac{s^k \cdot B}{(1-s) \cdot A}, \quad k \geq 1, \quad (5-2)$$

A , B jsou polynomy komplexní proměnné s ,

k je diskrétní dopravní zpoždění.

Impulsní přenos (5-2) nazveme zkráceně impulsním přenosem soustavy a sumátoru. Přenos sumátoru je $\frac{U}{\Delta U} = \frac{1}{1-s}$, (5-2) pak můžeme upravit

$$\frac{Y}{U} = \frac{s^k \cdot B}{A}, \quad k \geq 1. \quad (5-3)$$

5.1 NÁVRH DIFERENČNÍ ROVNICE REGULÁTORU

Uvažujme regulační obvod, do kterého vstupují neměřené náhodné poruchy – diskrétní bílý šum, viz obr. 4-1. Předpokládejme, že známe polynomy A, B, C, H impulsních přenosů soustavy a filtru. Máme určit stupně a koeficienty polynomů M, N regulátoru tak, aby bylo minimalizováno kritérium

$$J = \sigma_y^2 + q \cdot \sigma_u^2 , \quad (5.1-1)$$

kde je σ_y^2 rozptyl ergodického stacionárního náhodného procesu Y nebo $y(j, \nu)$,

σ_u^2 rozptyl ergodického stacionárního náhodného procesu Δu nebo $\Delta u(j, \nu)$,

q zvolený kladný váhový koeficient

O navrhovaném regulátoru se uvažuje, že bude zapojen v uzavřeném regulačním obvodu, vzhledem k regulované soustavě bude zapojen ve zpětné vazbě. Návrh číslicového regulátoru je prováděn za předpokladu, že známe diferenční rovnici regulované soustavy – známe popis nebo model soustavy. Z této diferenční rovnice je vytvořen stavový popis soustavy, kde jedna stavová veličina je výstupní veličinou soustavy. Této skutečnosti je využito v algoritmu návrhu regulátoru metodou dynamického programování.

Návrh regulátoru je proveden tak, aby při znalosti vektoru stavu soustavy $\underline{x}(j)$ byla tato optimálně regulována z libovolného počátečního stavu vzhledem k minimu kvadratického kritéria

$$J = \sum_{j=0}^{\mu-1} [y^2(j) + q \cdot \Delta u^2(j)] + y^2(\mu) . \quad (5.1-2)$$

Navrhнемe tedy regulátor, který bude pracovat s vektorem stavu $\underline{x}(j)$ a jeho výstupem bude vektor $\Delta \underline{u}(j)$.

Dále uvažujeme, že v impulsním přenosu soustavy a sumátoru, viz (5-2), volíme $k=1$, takže

$$Y = \frac{s \cdot B}{(1-s) \cdot A} \cdot \Delta U . \quad (5.1-3)$$

Diskuse a návrh regulátoru metodou dynamického programování jsou uvedeny v práci /5/ v odst. 3.1. Při výpočtu získáme regulátor, jehož výstup je lineární kombinací složek vektoru stavu soustavy

$$\Delta \underline{u}(j) = \underline{R} \cdot \underline{x}(j) . \quad (5.1-4)$$

Regulátor (5.1-4) pracuje s vektorem stavu soustavy $\underline{x}(j)$. Pro soustavu s jednou vstupní a jednou výstupní veličinou je \underline{R} maticí rozměru $[1, v]$, viz (5.1-3), $v-1$ je řád soustavy. Regulátor, který pracuje s vektorem stavu soustavy je třeba doplnit estimátorem stavu, který odhaduje stav soustavy při přítomnosti poruch na soustavě.

Stav soustavy můžeme zapsat ve tvaru

$$\underline{x}(j) = \underline{T} \cdot \underline{z}(j) , \quad (5.1-5)$$

kde $\underline{z}(j)$ nazveme vektorem pozorování a \underline{T} transformační maticí.

(5.1-5) dosadíme do (5.1-4) a získáme rovnici regulátoru

$$\Delta \underline{u}(j) = \underline{R} \cdot \underline{T} \cdot \underline{z}(j) , \quad (5.1-6)$$

což je diferenční rovnice regulátoru. Z-transformaci diferenční rovnice regulátoru zapíšeme

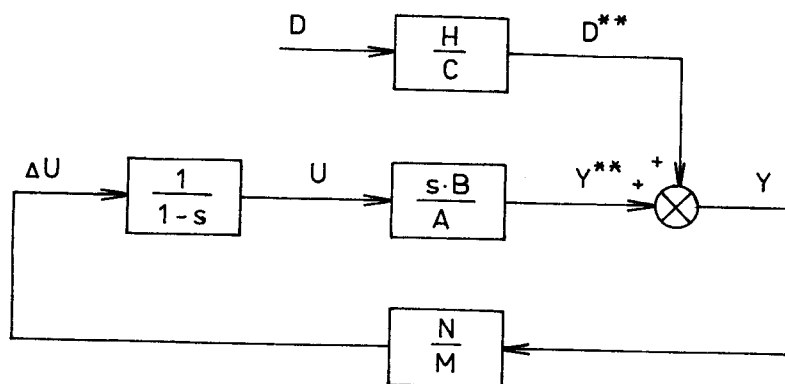
$$M \cdot \Delta U = N \cdot Y . \quad (5.1-7)$$

Rozborem postupu uvedeného výpočtu regulátoru zjistíme, že pro soustavu (5.1-3) bude

$$M = 1 + m_1 \cdot s + m_2 \cdot s^2 + \dots + m_{v-1} \cdot s^{v-1} ,$$

$$N = n_0 + n_1 \cdot s + n_2 \cdot s^2 + \dots + n_{v-1} \cdot s^{v-1} .$$

Nyní se vrátíme k původním předpokladům z odst. 4., viz popis obr. 4-1, budeme předpokládat, že do uzavřeného regulačního obvodu vstupují poruchy D - diskrétní bílý šum s nulovou střední hodnotou. Regulační obvod z obr. 4-1 překreslíme, viz obr. 5.1-1, budeme uvažovat $w=0$, $w(j)=0$ pro $j \in (-\infty, \infty)$.



Obr. 5.1-1

V regulačním obvodu z obr. 5.1-1 přenos soustavy a sumátoru je $\frac{Y^{**}}{\Delta U} = \frac{s \cdot B}{(1-s)A}$. Přenos filtru je $\frac{D^{**}}{D} = \frac{H}{C}$.
Předpokládejme, že filtr je stabilní (kořeny polynomu C leží vně jednotkové kružnice).
Zapišme polynomy C a H,

$$C = 1 + c_1 \cdot s + c_2 \cdot s^2 + \dots + c_{n-1} \cdot s^{n-1},$$

$$H = 1 + h_1 \cdot s + h_2 \cdot s^2 + \dots + h_{n-1} \cdot s^{n-1}, \quad c_{n-1} \neq 0 \text{ nebo } h_{n-1} \neq 0.$$

Předpokládejme, viz popis obr. 4-1, že poruchy D (diskrétní bílý šum) jsou neměřené. Proto můžeme impulsní přenos filtru vynásobit konstantou. Tuto konstantu jsme volili tak, aby při $h_0 = 1$ (h_0 je koeficient u nulté mocniny s polynomu H) byl i koeficient c_0 polynomu C roven jedné, $c_0 = 1$.

Pro regulační obvod z obr. 5.1-1 vyjádříme impulsní přenos $\frac{Y}{D}$

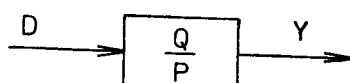
$$\frac{Y}{D} = \frac{H}{C} \cdot \frac{1}{1 - \frac{s \cdot B}{(1-s) \cdot A} \cdot \frac{N}{M}} = \frac{(1-s) \cdot A \cdot H \cdot M}{C \cdot \{(1-s) \cdot A \cdot M - s \cdot B \cdot N\}} \triangleq \frac{Q}{P} = G, \quad (5.1-8)$$

P, Q jsou polynomy,

G je řada, je jednou z váhových funkcí uzavřeného regulačního obvodu,

$$G(s) = g(0) + g(1) \cdot s + g(2) \cdot s^2 + \dots$$

Schéma regulačního obvodu z obr. 5.1-1 překreslíme, viz obr. 5.1-2.



Obr. 5.1-2

Předpokládejme, že v regulačním obvodu z obr. 5.1-1 je zapojen regulátor, pro který impulsní přenos (5.1-8) je stabilní, kořeny polynomu P leží vně jednotkové kružnice, $\lim_{j \rightarrow \infty} g(j) = 0$. Uvažujeme, že D , viz obr. 5.1-2, je diskrétní bílý šum s nulovou střední hodnotou, γ nebo $y(k, \nu)$ je ergodický stacionární náhodný proces též s nulovou střední hodnotou. Výstupní veličinu $y(k)$, která je realizací diskrétního náhodného procesu $y(k, \nu)$, vyjádříme

$$y(k) = \sum_{j=0}^{\infty} g(j) \cdot d(k-j), \quad (5.1-9)$$

kde $d(k)$ je realizace náhodného procesu $d(k, \nu)$ – diskrétního bílého šumu.

V práci /5/, v odst. 3.2, je provedena diskuse kvadratického kritéria, které je rozptylem ergodického stacionárního náhodného procesu $y(k, \tau)$. Vychází se z tvaru

$$J = \sigma_y^2 = \lim_{\mu \rightarrow \infty} \frac{1}{2\mu + 1} \cdot \sum_{k=-\mu}^{\mu} y^2(k) . \quad (5.1-10)$$

Po provedené diskusi vyjádříme rovnost

$$\sigma_y^2 = \sigma_d^2 \cdot \sum_{j=0}^{\infty} g^2(j) , \quad (5.1-11)$$

kde je σ_d^2 rozptyl diskrétního bílého šumu D,

σ_y^2 rozptyl ergodického stacionárního náhodného procesu Y nebo $y(j, \tau)$, viz obr. 5.1-2.

Pro regulační obvod z obr. 5.1-1 vyjádříme impulsní přenos $\frac{\Delta U}{D}$

$$\frac{\Delta U}{D} = \frac{(1-s) \cdot A \cdot H \cdot N}{C \cdot \{(1-s) \cdot A \cdot M - s \cdot B \cdot N\}} . \quad (5.1-12)$$

Je-li v regulačním obvodu z obr. 5.1-1 zapojen regulátor, pro který je impulsní přenos (5.1-8) stabilní, potom i impulsní přenos (5.1-12) je stabilní. Pro uvedený regulační obvod je možno vyjádřit kvadratické kritérium, viz (5.1-1)

$$\begin{aligned} J = \sigma_y^2 + q \cdot \sigma_u^2 &= \lim_{\mu \rightarrow \infty} \frac{1}{2\mu + 1} \cdot \sum_{k=-\mu}^{\mu} \{y^2(k) + q \cdot \Delta u^2(k)\} = \\ &= \sigma_d^2 \cdot \sum_{j=0}^{\infty} \{g_y^2(j) + q \cdot g_u^2(j)\} , \end{aligned} \quad (5.1-13)$$

kde je $g_y(j)$ váhová funkce odpovídající přenosu $\frac{Y}{D}$ uzavřeného regulačního obvodu,

$g_u(j)$ váhová funkce odpovídající přenosu $\frac{\Delta U}{D}$ uzavřeného regulačního obvodu.

Z hlediska návrhu regulátoru pro zadanou soustavu a filtr, kterým do soustavy vstupuje diskrétní bílý šum, viz obr. 5.1-1, můžeme vysvětlit rovnici (5.1-13):

Regulátor, který minimalizuje vážený součet rozptylů ergodických stacionárních náhodných procesů $y(j, \nu)$ a $\Delta u(j, \nu)$ při vstupu diskrétního bílého šumu do uzavřeného obvodu, minimalizuje též vážený součet ploch váhových funkcí uzavřeného obvodu $g_y(j)$, $g_u(j)$, tzn. minimalizuje též vážený součet kvadrátů veličin $y(j)$ a $\Delta u(j)$, jestliže do regulačního obvodu při nulových počátečních podmínkách vstoupí impulsní porucha.

5.2 NÁVRH REGULÁTORU NA PORUCHY VSTUPUJÍCÍ

DO REGULAČNÍHO OBVODU FILTREM S PŘENOSEM $\frac{H}{C}$

Poruchy vstupující do regulačního obvodu tak, jak je nakresleno na obr. 5.1-1. Pro soustavu a filtr, viz obr. 5.1-1, platí

$$Y = \frac{s \cdot B}{(1-s) \cdot A} \cdot \Delta U + \frac{H}{C} \cdot D , \quad (5.2-1)$$

$$(1-s) \cdot A \cdot C \cdot Y = s \cdot B \cdot C \cdot \Delta U + (1-s) \cdot A \cdot H \cdot D . \quad (5.2-2)$$

Přepis rovnice (5.2-1) na rovnici (5.2-2) provádíme za předpokladu, že polynomy A a C jsou nesoudělné.

Regulátor navrheme pro soustavu a filtr, které jsou popsány rovnicí

$$(1-s) \cdot A \cdot C \cdot Y = s \cdot B \cdot C \cdot \Delta U + (1-s) \cdot A^+ \cdot H^+ \cdot D . \quad (5.2-3)$$

V případě, že polynom A je stabilní, potom $A^+ = A$.

V práci /5/, v odst. 3.2.3, je pro uvažovanou soustavu a filtr vypočtena transformační matice \underline{I}^* , kterou dosadíme do (5.1-6) a získáme diferenční rovnici regulátoru. Z-transformaci této diferenční rovnice zapíšeme

$$M^* \cdot \Delta U = N^* \cdot Y + P^* \cdot D . \quad (5.2-4)$$

Z rovnice (5.2-3) vypočteme D a dosadíme do (5.2-4),

$$M^* \cdot \Delta U = N^* \cdot Y + P^* \cdot \frac{(1-s) \cdot A \cdot C \cdot Y - s \cdot B \cdot C \cdot \Delta U}{A^+ \cdot H^+ \cdot (1-s)},$$

$$\{(1-s) \cdot A^+ \cdot H^+ \cdot M^* + s \cdot B \cdot C \cdot P^*\} \cdot \Delta U = (A^+ \cdot H^+ \cdot N^* + A \cdot C \cdot P^*) \cdot (1-s) \cdot Y. \quad (5.2-5)$$

Regulátor popsáný rovnicí (5.2-5) vyreguluje optimálně, vzhledem ke zvolenému kvadratickému kritériu, neměřenou po- ruchu D, která vstupuje do regulačního obvodu filtrem s pře- nosem $\frac{H}{C}$, viz obr. 5.1-1.

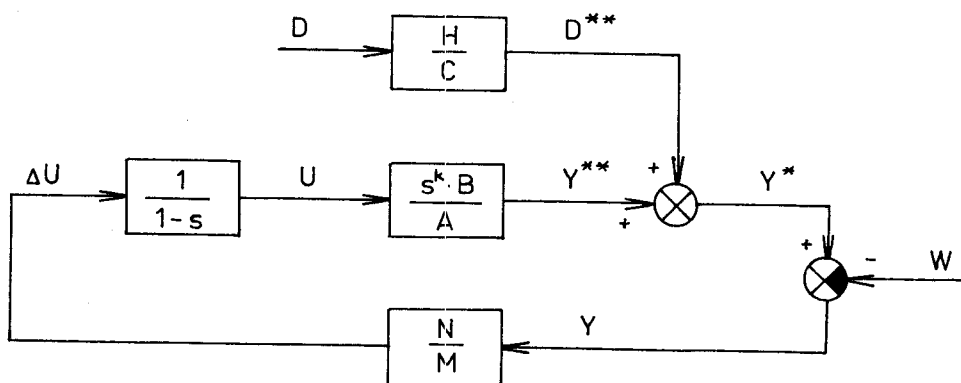
6. IDENTIFIKACE SOUSTAV

Identifikací soustav se rozumí experimentální zjištění vlastností těchto soustav. Výsledkem identifikace jsou pak obvykle statické a dynamické charakteristiky soustav, matematický či logický popis chování soustavy a pod. Výsledky slouží pak pro odhad chování soustavy za daných podmínek, pro řešení problémů optimálního řízení. Na základě výsledků identifikace je možno stanovit modely soustav a celých zařízení (fyzikální či jen matematické) a řešit potřebné problémy mimo vlastní zařízení. Např. návrh vhodného regulátoru a správné nastavení jeho parametrů závisí od chování regulované soustavy. Předběžné určení chování (na základě výpočtu a konstrukčních a projektových dat) nebývá pro účely optimalizace dostatečně přesné a proto je nutné zjistit vlastnosti soustavy přesněji identifikací. Vlastnosti soustavy se však v čase mění v důsledku změn vnějších podmínek (změny zatížení, jakosti vstupního zařízení a pod.). V těchto případech je třeba identifikaci provádět opakováně nebo i nepřetržitě. Hovoříme proto o identifikaci jednorázové (OFF-LINE), kde se provádí nejdříve celé měření všech hodnot a pak jejich vyhodnocení a nakonec následuje využití výsledků a o identifikaci průběžné (ON-LINE), kde se měření, vyhodnocování i využívání všech výsledků provádí současně.

Pro identifikaci soustav byly vypracovány různé metody. V této práci je použita metoda nejmenších čtverců upravená do algoritmu LD-FILTRU.

6.1 IDENTIFIKACE SOUSTAVY V UZAVŘENÉM REGULAČNÍM OBVODU

Uvažujme uzavřený regulační obvod z obr. 6.1-1.



Obr. 6.1-1

Uvažujme, že D , viz obr. 6.1-1, je diskrétní bílý šum. w je žádaná hodnota výstupní veličiny Y^* soustavy. Nenulovou žádanou hodnotu $w(j)$ uvažujeme v regulačním obvodu z obr. 6.1-1 z důvodu, aby diskutovaná úloha identifikace odpovídala nejčastěji diskutovaným úlohám z praxe. Uvažujme, že v regulačním obvodu je zapojen regulátor, který zajišťuje stabilitu uzavřeného regulačního obvodu. Dále předpokládejme, že do tohoto regulačního obvodu při nulových počátečních podmínkách vstoupí skoková žádaná hodnota

$$w(j) = \begin{cases} 1 & \text{pro } j \geq 0 \\ 0 & \text{pro } j < 0. \end{cases}$$

Jestliže uvažujeme, že do regulačního obvodu z obr. 6.1-1 vstupuje diskrétní bílý šum, potom pro vyhodnocování diskrétních náhodných procesů Y a ΔU postačí uvažovat impulsní přenosy $\frac{Y}{D}$ a $\frac{\Delta U}{D}$.

6.2 IDENTIFIKACE VÁHOVÉ FUNKCE

Uvažujme prediktor - model soustavy, který je popsán rovnicí

$$\hat{Y} = s \cdot \hat{B} \cdot U ,$$

$$\hat{B} = \hat{b}_0 + \hat{b}_1 \cdot s + \hat{b}_2 \cdot s^2 + \dots + \hat{b}_{\lambda-1} \cdot s^{\lambda-1} .$$
(6.2-1)

(6.2-1) je Z-transformací diferenční rovnice

$$\hat{y}(j) = \hat{b}_0 \cdot u(j-1) + \hat{b}_1 \cdot u(j-2) + \dots + \hat{b}_{\lambda-1} \cdot u(j-\lambda) .$$
(6.2-2)

$\hat{y}(j)$ je predikce - předpověď hodnoty regulované veličiny y soustavy v čase j na základě znalosti hodnot přírušků vstupní veličiny u v časech $j-1$ až $j-\lambda$.

Volíme λ jako "velké" číslo, polynom \hat{B} a koeficienty $\hat{b}_0, \hat{b}_1, \dots, \hat{b}_{\lambda-1}$ nazveme váhovou funkcí modelu soustavy; porovnejme (6.2-1) s (4-7).

Chyba predikce $e(j) = y(j) - \hat{y}(j)$, $E = Y - \hat{Y}$. Rovnici (6.2-1) upravíme

$$E = Y - s \cdot \hat{B} \cdot U .$$
(6.2-3)

(6.2-3) je Z-transformací rovnice

$$e(j) = y(j) - \hat{b}_0 \cdot u(j-1) - \hat{b}_1 \cdot u(j-2) - \dots - \hat{b}_{\lambda-1} \cdot u(j-\lambda) .$$
(6.2-4)

Koeficienty polynomu \hat{B} vypočteme metodou nejmenších čtverců, vypočteme je tak, aby bylo minimalizováno kritérium

$$J = \frac{1}{2\mu+1} \cdot \sum_{j=-\mu}^{\mu} e^2(j) , \quad \mu \gg \lambda .$$
(6.2-5)

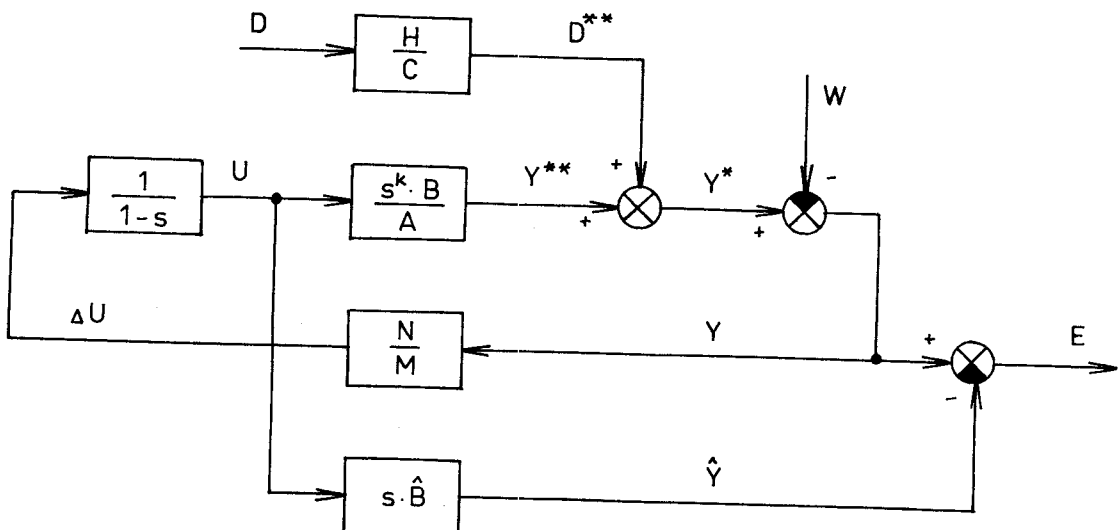
Jestliže do regulačního obvodu z obr. 6.1-1 při nulových počátečních podmínkách vstoupí impulsní porucha

$$d(j) = \begin{cases} 0 & \text{pro } j \neq 0 , \\ 1 & \text{pro } j = 0 , \end{cases}$$

pak upravíme kvadratické kritérium (6.2-5)

$$J = \frac{1}{\mu+1} \cdot \sum_{j=0}^{\mu} e^2(j) . \quad (6.2-6)$$

Při znalosti polynomů A, B, C, H, M, N je možno vypočítat řadu, ke které budou při identifikaci metodou nejmenších čtverců ($\mu \rightarrow \infty$) koeficienty polynomu \hat{B} konvergovat, jestliže budeme zvyšovat stupeň tohoto polynomu. Do regulačního obvodu z obr. 6.1-1 přikreslíme rovnici (6.2-3).



Obr. 6.1-2

Pro regulační obvod z obr. 6.1-2 vyjádříme impulsní přenos $\frac{E}{D}$

$$\frac{E}{D} = \frac{H}{C} \cdot \frac{\frac{1 - \frac{s \cdot \hat{B}}{1-s} \cdot \frac{N}{M}}{1 - \frac{s^k \cdot B}{(1-s) \cdot A} \cdot \frac{N}{M}}}{1 - \frac{s^k \cdot B}{(1-s) \cdot A} \cdot \frac{N}{M}} = \frac{A \cdot H}{C} \cdot \frac{M \cdot (1-s) - s \cdot \hat{B} \cdot N}{(1-s) \cdot A \cdot M - s^k \cdot B \cdot N} \triangleq G , \quad (6.2-7)$$

$G = G(s) = g(0) + g(1) \cdot s + g(2) \cdot s^2 + \dots$. Řada G a posloupnost $g(0), g(1), g(2), \dots$ je jednou z váhových funkcí obvodu z obr. 6.1-2.

Uvažujme, že při identifikaci metodou nejmenších čtverců minimalizujeme kritérium

$$J = \lim_{\mu \rightarrow \infty} \frac{1}{2\mu + 1} \cdot \sum_{j=-\mu}^{\mu} e^2(j) = \sigma_e^2 , \quad (6.2-8)$$

kde σ_e^2 je rozptyl chyby predikce.

Uvažujme, že diskutovaný regulační obvod je stabilní a polynom C je také stabilní. Potom chyba predikce E, viz obr. 6.1-2, je ergodickým stacionárním náhodným procesem. Obdobně, jako je upraven vztah (5.1-10), viz práce /5/ odst. 3.2, je upraven i vztah (6.2-8),

$$J = \sigma_e^2 = \lim_{\mu \rightarrow \infty} \frac{1}{2\mu + 1} \cdot \sum_{j=-\mu}^{\mu} e^2(j) = \sigma_d^2 \cdot \sum_{j=0}^{\infty} g^2(j) , \quad (6.2-9)$$

kde σ_d^2 je rozptyl diskrétního bílého šumu, $g(j)$ pro $j \in \{0, \infty\}$ je váhová funkce, viz (6.2-7).

Z posloupnosti $g(j)$ je vytvořena řada G, která je též nazvána váhovou funkcí.

Nalezneme-li takový polynom nebo řadu G, pro kterou

$$g(j) = 0 \quad \text{pro } j > 0 , \quad (6.2-10)$$

nalezli jsme i minimum $\sum_{j=0}^{\infty} g^2(j)$, tzn. minimum kritéria

(6.2-9). Podmínu (6.2-10) vyjádříme

$$G(s) - G(0) = 0 . \quad (6.2-11)$$

Uvažujme, že absolutní členy polynomů A, C, H, M jsou rovny jedné, takže

$$G(0) = 1 . \quad (6.2-12)$$

Vztahy (6.2-7) a (6.2-12) dosadíme do (6.2-11):

$$\frac{H}{C} \cdot \frac{\frac{1 - \frac{s\hat{B}}{1-s} \cdot \frac{N}{M}}{1 - \frac{s^k \cdot B}{(1-s) \cdot A} \cdot \frac{N}{M}} - 1 = 0}{},$$

$$B = \left(1 - \frac{C}{H}\right) \cdot \frac{M \cdot (1-s)}{s \cdot N} + \frac{s^{k-1} B \cdot C}{A \cdot H}, \quad (6.2-13)$$

$$1 - \frac{C}{H} = \frac{H - C}{H}, \text{ z rozdílu polynomů } H - C \text{ je možno vytknout } s.$$

Budeme-li při identifikaci metodou nejmenších čtverců, viz (6.2-8), zvyšovat stupeň polynomu \hat{B} , budou koeficienty tohoto polynomu konvergovat ke koeficientům řady

$$\left(1 - \frac{C}{H^+}\right) \cdot \frac{M \cdot (1-s)}{s \cdot N^+} + \frac{s^{k-1} B \cdot C}{A^+ \cdot H^+} \triangleq \hat{B}^+. \quad (6.2-14)$$

Polynomy A^+ , H^+ , N^+ jsou stabilní a vypočteme je z polynomů A , H , N reflexí nestabilních kořenů.

Rovnici (6.2-14) můžeme použít pro výpočet polynomů A^+ , B , C , H^+ na základě dvakrát provedené identifikace při dvou různých regulátorech, které jsou zapojeny v uzavřeném regulačním obvodu. Při zapojení dvou různých regulátorů v uzavřeném regulačním obvodu rovnici (6.2-14) zapišeme:

$$\hat{B}_1 = \left(1 - \frac{C}{H^+}\right) \cdot \frac{M_1 \cdot (1-s)}{s \cdot N_1^+} + \frac{s^{k-1} B \cdot C}{A^+ \cdot H^+}, \quad (6.2-15)$$

$$\hat{B}_2 = \left(1 - \frac{C}{H^+}\right) \cdot \frac{M_2 \cdot (1-s)}{s \cdot N_2^+} + \frac{s^{k-1} B \cdot C}{A^+ \cdot H^+}. \quad (6.2-16)$$

Odečtením např. (6.2-16) od (6.2-15) a úpravou vypočteme

$$\frac{C}{H^+} = 1 - \frac{1}{1-s} \cdot \frac{s \cdot (\hat{B}_1 - \hat{B}_2) N_1^+ \cdot N_2^+}{M_1 \cdot N_2^+ - M_2 \cdot N_1^+} \triangleq G^*. \quad (6.2-17)$$

Dosazením identifikovaných polynomů \hat{B}_1 , \hat{B}_2 a známých polynomů regulátorů M_1 , N_1^+ , M_2 , N_2^+ vypočteme řadu G^* , viz (6.2-17). Na základě znalosti řady G^* vypočteme polynomy C a H^+ za použití metody nejmenších čtverců upravené do algoritmu LD FILTRU. Při znalosti polynomů C a H^+ a diskrétního

dopravního zpoždění k soustavy vypočteme z rovnic (6.2-15) a (6.2-16) podíl $\frac{B}{A^+}$, viz (6.2-18) a (6.2-19).

$$\frac{\hat{B}_1 \cdot H^+}{s^{k-1} \cdot C} + \frac{(C - H^+) \cdot M_1 \cdot (1-s)}{s^k \cdot N_1^+ \cdot C} = \frac{B}{A^+} \triangleq \frac{B_1}{A_1^+} \quad (6.2-18)$$

$$\frac{\hat{B}_2 \cdot H^+}{s^{k-1} \cdot C} + \frac{(C - H^+) \cdot M_2 \cdot (1-s)}{s^k \cdot N_2^+ \cdot C} = \frac{B}{A^+} \triangleq \frac{B_2}{A_2^+} \quad (6.2-19)$$

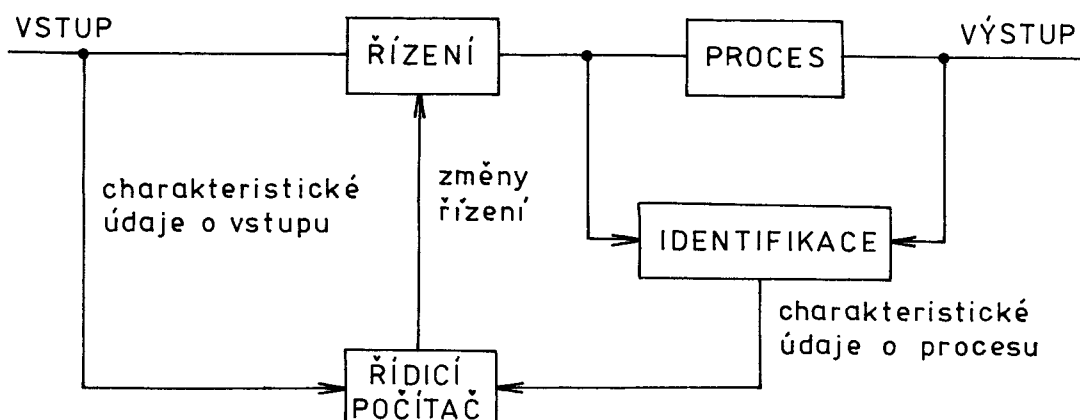
Použitím metody nejmenších čtverců upravené do algoritmu LD FILTRU vypočteme z rovnic (6.2-18) a (6.2-19) polynomy B_1 , B_2 , A_1^+ a A_2^+ a aritmetickým průměrem z nich vypočteme polynomy B a A^+ .

Tato metoda identifikace polynomů A^+ , B , C , H^+ soustavy a filtru v uzavřeném regulačním obvodu je základem algoritmu adaptivního regulátoru, který je diskutován v odstavcích 7.1 a 7.2.

7. ADAPTIVNÍ SYSTÉMY

Adaptivní systém je systém, který přizpůsobuje své vlastnosti (parametry i strukturu) měnícím se podmínkám tak, aby kvalita procesu zůstala zachována nebo aby se dokonce zvětšovala. Adaptivní systém musí vždy obsahovat část identifikační (měřicí), která shromažďuje a vyhodnocuje informace o změnách v systému. Druhá část realizuje potřebné zásahy (změny zesílení, přepínání funkcí, změnu energetických režimů a pod.) tak, aby bylo dosaženo stanoveného optima. Pokud systém pouze zachovává udanou kvalitu procesů, jde o adaptivní systém, pokud tuto kvalitu zlepšuje nad původně zadanou mezi pomocí získaných zkušeností, jde o systém s učením.

Adaptivní systém vždy využívá principu zpětné vazby, i když jde o adaptaci systému řízení v otevřené smyčce. Obvyklým prostředkem pro vyhodnocení informací o procesu je číslačkový počítač. Základní blokové schéma adaptivního systému je na obr. 7-1.



Obr. 7-1 Blokové schéma adaptivního systému

Řídicí počítač, který mění konstanty řídicího členu, popř. i celý algoritmus řízení, dostává jednak informace o charakteru vstupních signálů, jednak informace o charakteristických hodnotách řízeného procesu (zesílení, časové konstanty a pod.).

U mnoha adaptivních systémů se parametry procesu využívají statisticky, po uplynutí určité doby. K adaptaci pak dochází pouze v určitých časových intervalech.

7.1 ADAPTIVNÍ REGULÁTORY

V odstavci 4. jsme pod pojmem regulátor rozuměli diferenční rovnici regulátoru, viz (4-12), nebo rovnici regulátoru, který pracuje s vektorem stavu soustavy. Z-transformace diferenční rovnice regulátoru při nulových počátečních podmínkách je impulsním přenosem regulátoru.

Předpokládejme, že v uzavřeném regulačním obvodu, viz obr. 6.1-1, je zapojena neproměnná soustava a filtr. Nechť do tohoto regulačního obvodu vstupují poruchy - diskrétní bílý šum D . V regulačním obvodu je zapojen regulátor s impulsním přenosem $\frac{\Delta U}{Y} = \frac{N}{M}$. Nechť tento regulátor zajišťuje stabilitu uzavřeného regulačního obvodu, tzn. např. impulsní přenos $\frac{Y}{W}$ je stabilní. Předpokládejme, že hodnota kritéria $J = \delta_y^2 + q \cdot \delta_u^2$, viz (5.1-13), je při zapojení uvedeného regulátoru v regulačním obvodu "podstatně" větší, než je minimum tohoto kritéria při zadaném stupni diferenční rovnice regulátoru. Pod pojmem adaptivní regulátor rozumíme diferenční rovnici regulátoru a algoritmus, který při zadaném stupni diferenční rovnice regulátoru mění koeficienty této rovnice, tak, aby byla snižována hodnota kritéria $J = \delta_y^2 + q \cdot \delta_u^2$.

V odst. 6.1 jsme uvedli, že z identifikovaných dvou váhových funkcí soustavy při zapojení dvou různých regulátorů v uzavřeném regulačním obvodu je možno vypočítat polynomy A^+ , B , C , H^+ soustavy s filtrem. Při znalosti těchto polynomů můžeme navrhnut regulátor. Tato metoda je základem algoritmu adaptivního regulátoru, která je uvedena v odst. 7.2.

Uvedený algoritmus adaptivního regulátoru je možno zařadit do třídy adaptivních regulátorů, které identifikují model soustavy a na základě tohoto modelu navrhuji regulátor. Třída těchto regulátorů je v zahraniční literatuře označována jako samonastrajivajuščiesja reguljatory a self tuning controllers.

7.2 ADAPTIVNÍ REGULÁTOR S IDENTIFIKACÍ VÁHOVÉ FUNKCE

Identifikační část algoritmu tohoto regulátoru je popsána v odst. 6.2, viz popis (6.2-15) a (6.2-16). V identifikační části tohoto algoritmu provedeme dvakrát identifikaci váhových funkcí modelů soustavy při zapojení dvou různých regulátorů v uzavřeném regulačním obvodu. Předpokládáme, že identifikaci jedné váhové funkce provádime "dlouhý čas". Z identifikovaných dvou váhových funkcí a na základě znalosti diskrétního dopravního zpoždění k soustavy vypočteme polynomy A^+ , B , C , H^+ soustavy a filtru, tzn. je určeno místo vstupu poruch do uzavřeného regulačního obvodu. Na tyto poruchy, viz odst. 5.1 a 5.2, navrhнемe metodou dynamického programování diferenční rovnici regulátoru. Jelikož v identifikační části adaptivního regulátoru jsme vypočítali polynom A^+ , uvedený adaptivní regulátor je použitelný pouze pro stabilní soustavy. V případě, že jsou soustava a filtr neproměnné, není třeba algoritmus identifikace a návrhu regulátoru opakovat.

Nevýhoda adaptivního regulátoru s identifikací váhové funkce modelu soustavy je, že v identifikační části algoritmu je zapotřebí "přepínat" regulátory a identifikovat "velké množství" koeficientů váhové funkce.

Výhoda diskutovaného adaptivního regulátoru je, že v případě neproměnné soustavy a filtru je po "jednom adaptačním kroku" regulátor optimálně seřízen na vstupující poruchy.

8. SAPI 1 - SYSTEM PRO AUTOMATICKÉ MĚŘENÍ A SBĚR DAT

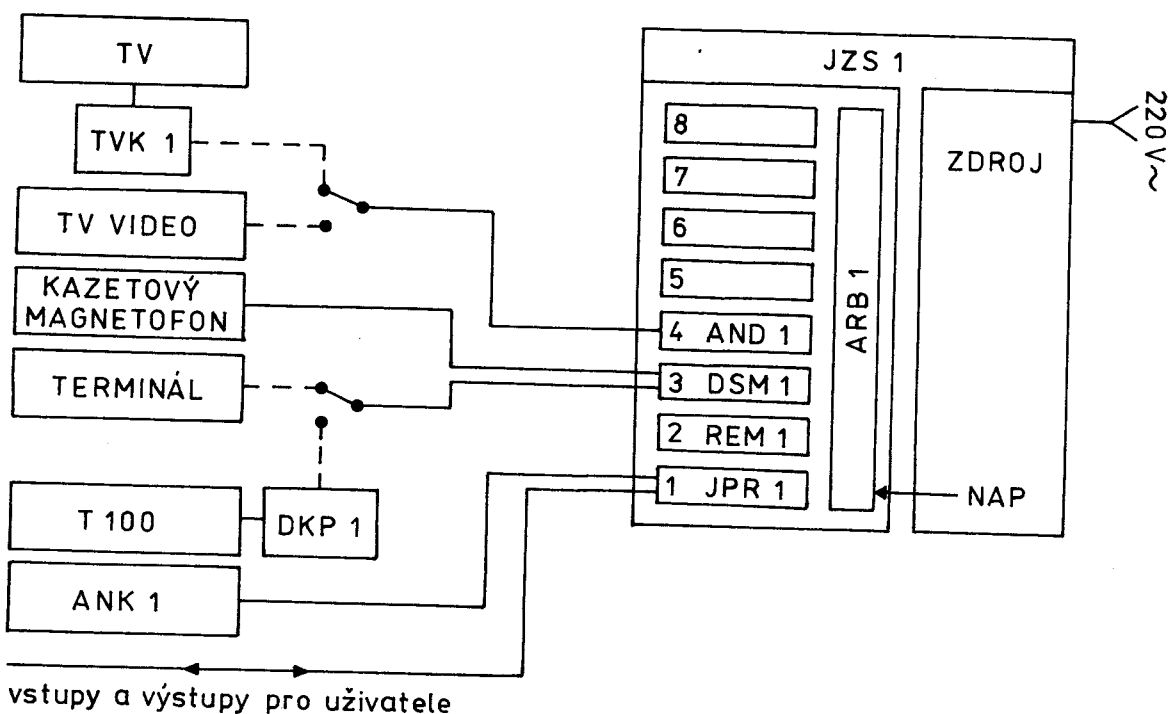
Mikroprocesorový stavebnicový systém SAPI 1 je nejmenším členem velké rodiny SAPI, jejíž nezkrácený název zní: Systémy Automatického Pořizování Informací. Rozvoj tohoto systému má za cíl odstranit negativní vliv lidského činitele při pořizování informací. Základem systému SAPI 1 je mikropočítáč JPR 1. Jednodeskový mikropočítáč JPR 1 může pracovat sám, bez podpory dalších desek a dílů systému SAPI 1. JPR 1 by měl přinést to, co se od mikroprocesorů a mikroelektroniky očekává: nízká cena, jednoduchost, vysoká spolehlivost, malé rozměry a univerzálnost využití. To vše JPR 1 splňuje. JPR 1 je určena pro nejjednodušší aplikace. Pro svoji funkci potřebuje JPR 1 pouze napájení, vše ostatní je na desce. JPR 1 může být náhražkou za jednočipové mikropočítáče, které se připravují v ČSSR do výroby.

Nestačí-li pro aplikace samostatná deska mikropočítáče JPR 1, může se doplnit dalšími díly systému SAPI 1. Ve dvoudeskové verzi (JPR 1 a alfanumerický displej AND 1) je systém SAPI 1 již schopen komunikovat s uživatelem v jazyku BASIC. Stačí připojit jednoduchou klávesnici ANK 1 a TV přijímač a vznikne malý osobní počítáč. Pro rozšiřování systému o další desky slouží jednotka zdroje a sběrnice JZS 1 s deskou sběrnice ARB 1, která umožní rozšířit systém SAPI na osm desek.

Základní idea systému SAPI 1 je jednoduchá: dát uživatelům malý systém z našich součástek použitelný jak v průmyslu, tak ve školách, ústavech i v kancelářích.

8.1 POPIS SYSTÉMU SAPI 1

Systém SAPI 1 používá standardní formát desky 150x140 mm. Desky tohoto rozměru jsou ve všech zařízeních výpočetní techniky zemí RVHP (tiskárna Consul 2111 - ČSSR, magnetická paměť EC 5300 - BLR, děrovač DT 105-S - PLR, počítače řady EC atd.). Desky systému SAPI používají konektoru FRB (62 pinů) pro jeho vysokou spolehlivost. Všechny desky systému SAPI 1 jsou navrženy tak, aby byly jednoduché, ale výkonné. Samotné desky a díly systému je možno použít i pro jiné mikroprocesorové systémy. Signály sběrnice jsou voleny tak, aby jednotlivé desky mohly pracovat jako náhrada za LSI řadiče mikroprocesorového systému, které se nemohou u nás v celém sortimentu vyrábět. Příkladem je deska alfanumerického displeje AND 1.



Obr. 8.1-1 Blokové schéma systému SAPI 1

Vysvětlivky k blokovému schématu SAPI 1:

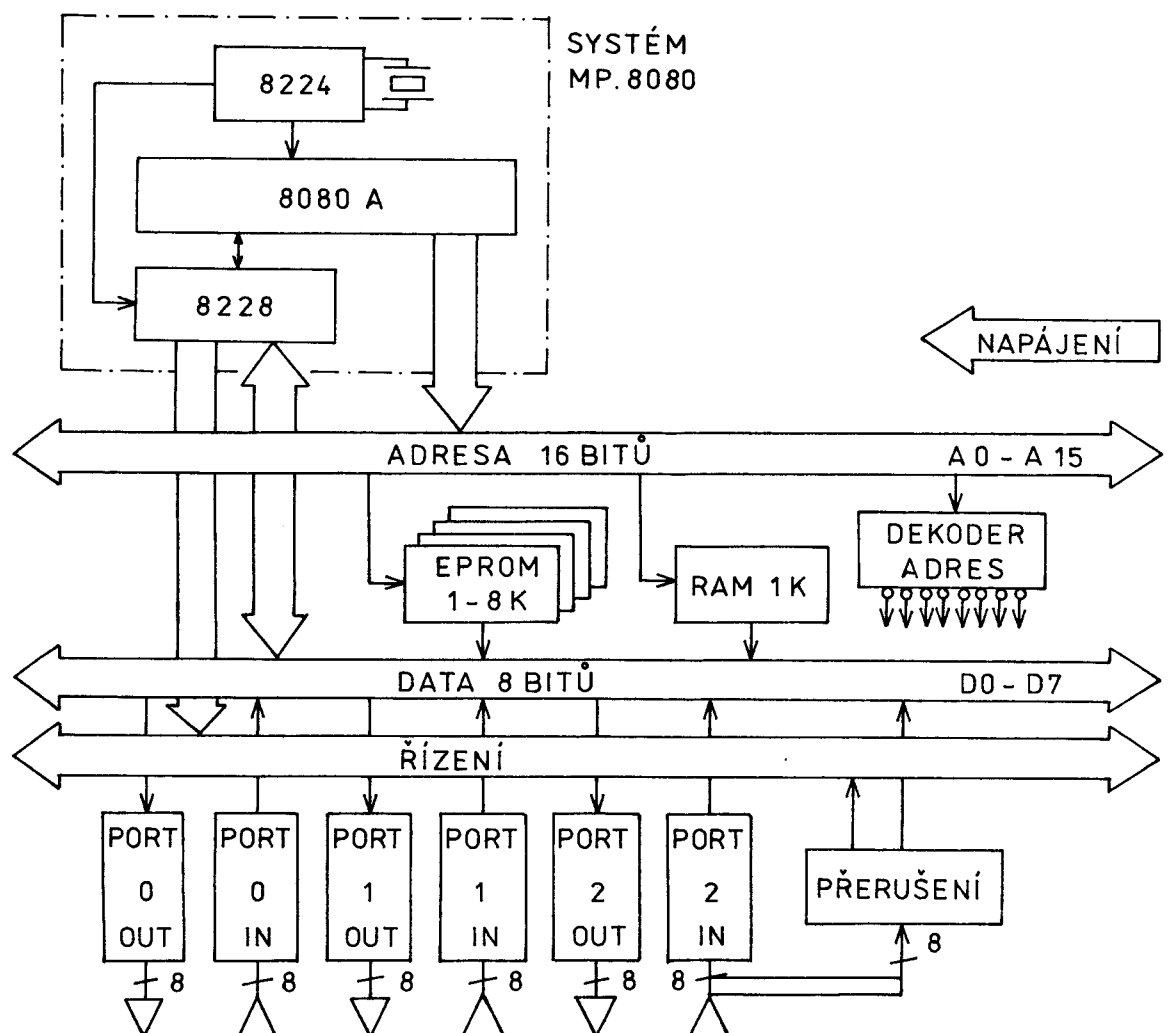
TV - televizní přijímač
TVK 1 - televizní konvertor
T 100 - dálnopis
DPK 1 - dálnopisný konvertor
ANK 1 - alfanumerická klávesnice
JZS 1 - jednotka zdroje a sběrnice
ARB 1 - deska sběrnice
AND 1 - deska alfanumerického displeje
DSM 1 - deska seriového přenosu a modemu
REM 1 - deska paměti
JPR 1 - deska mikropočítače

8.2 DESKA MIKROPOČÍTAČE JPR 1

Deska je určena buď pro samostatné použití jako jednodeskový mikropočítač a nebo jako procesor systému SAPI 1. Deska JPR 1 (Jednotka Programového Řízení) představuje jednoduchý, ale velice výkonný jednodeskový mikropočítač na bázi mikroprocesoru 8080 A. Na desce JPR 1 je mikroprocesor MHB 8080 A a jeho podpůrné obvody MH 8224 a MH 8228.

Paměť mikropočítače má kapacitu 1 KB RAM (2x MHB 2114), 1 - 8 KB EPROM (1 - 4x 2708 nebo 1 - 4x 2716). Vstupní a výstupní porty jsou adresovány jako paměť a jsou realizovány obvody MH 3212. Díky tomu, že jsou jako porty použity obvody TTL, jsou vstupy a výstupy k dispozici přímo, bez oddělovacích a zesilovacích členů. Na desce jsou 3 vstupní porty (3x8=24 vstupů) a 3 výstupní porty (3x8=24 výstupů). Vstupy a výstupy jsou vyvedeny přes dva konektory FRB (30 pinů).

Jeden 8-mi bitový port je současně zdrojem 8-mi žádostí o přerušení. Přerušovací systém je tvořen obvody MH 3214 a MH 3212. Deska JPR 1 má pro účely testování a krokování programů vyvedenu sběrnici přes konektor FRB (62 pinů). Při rozlišování systému slouží tato sběrnice jako systémová sběrnice SAPI 1. Deska JPR 1 tvoří minimální a standardně zapojený systém s mikroprocesorem 8080 A.



Obr. 8.2-1 Blokové schéma

8.3 PROGRAMOVÉ VYBAVENÍ SAPI 1

Základní programové vybavení využívá TV přijímače, klávesnice a magnetofonu. Programové vybavení je v pamětech ROM (4 KB) a obsahuje MIKROMONITOR pro práci v kódu HEX a zjednodušenou verzi jazyka Basic - MIKROBASIC verze 2.4. Další programové vybavení je připravováno a bude na magnetické pásce (kazeta). Bude obsahovat MONITOR, BASIC, ASSEMBLER, DISASSEMBLER, EDITOR a FORTH. Po připojení pružných disků bude dodáván kompatibilní operační systém CP/M.

8.4 SOUČASNÝ STAV VÝVOJE A VÝROBY SYSTÉMU SAPI 1

Základní směry vývoje systému SAPI 1 vycházejí ze skutečnosti, že mikropočítáčové systémy se dají rozlišit na ty, jež zpracovávají data a na řídicí systémy. To, že i řídicí systém musí umět zpracovat vstupní data a komunikovat s obsluhou podporuje myšlenku, že je nejlepší vycházet u mikropočítáčů ze stavebnice, která respektuje jak požadavky na zpracování dat, tak i na řízení.

Současný vývoj systému SAPI 1 se dá rozdělit do několika samostatných oblastí:

- jednotky
- procesory
- paměti
- řadiče
- desky propojení
- desky pro řízení
- systém pro rozšíření počtu desek
- různé samostatné díly systému

Ve spolupráci trojice řešitelů úkolu (TESLA Elstroj, TESLA Liberec a TESLA Eltos, závod DIZ) byl celý systém dopracován až do stavu, kdy mohla být zahájena jeho seriová výroba. Za podpory pracovníků FMEP a GŘ MLP (federálního ministerstva elektrotechnického průmyslu a generálního ředitelství TESLA, měřicí a laboratorní přístroje Brno) pokračuje uvedená trojice řešitelů ve vývoji a zvětšování výroby systému SAPI 1. Systém se ukázal jako dobře vyrábětelny a levný.

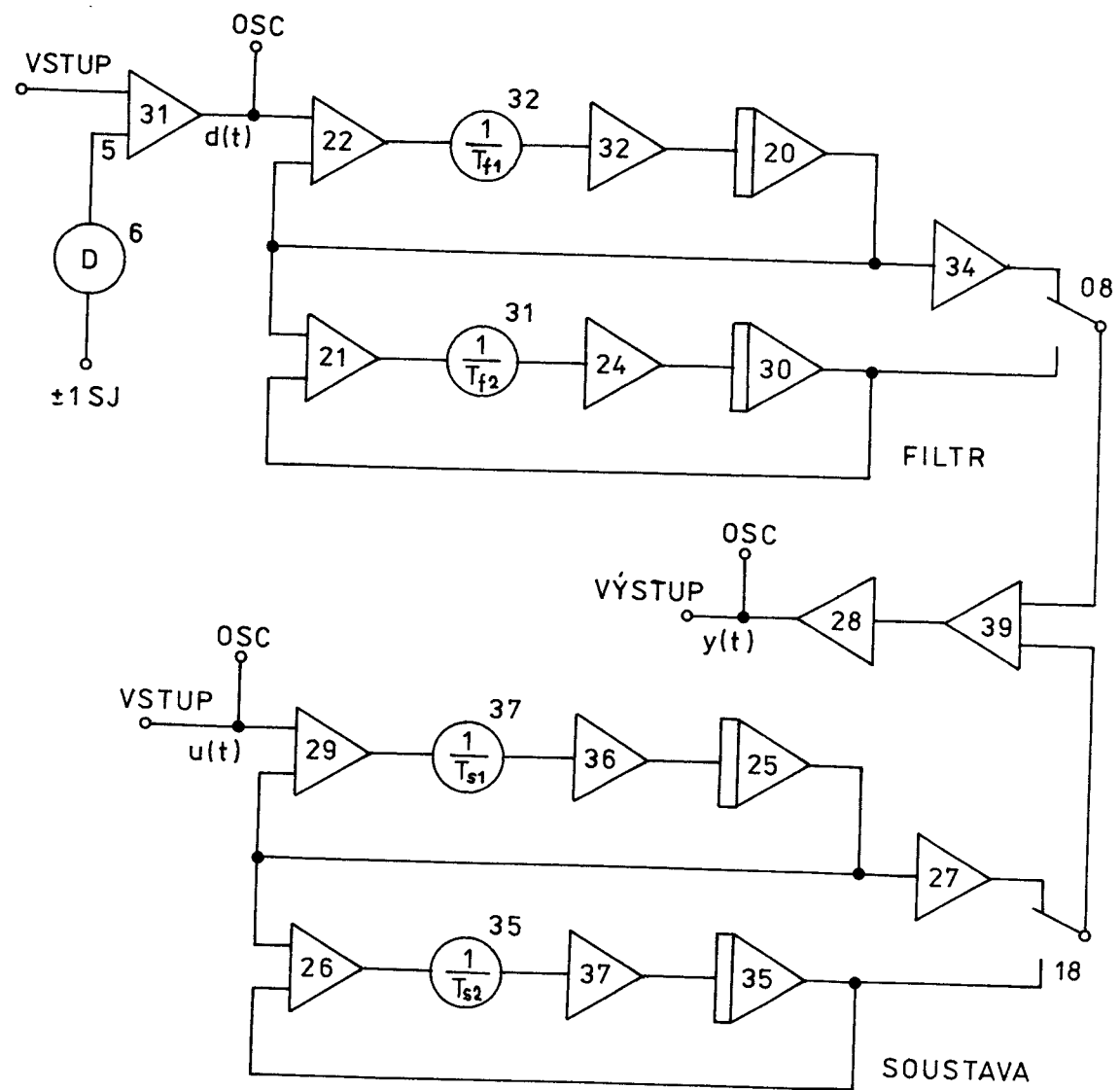
9. OVĚŘOVACÍ A KONTROLNÍ VÝPOČTY

Při vypracování diplomové práce jsem uskutečnil na hybridním spojení mikropočítáče SAPI 1 a analogového počítače MEDA 43-HA následující ověřovací výpočty:

- 1) návrh regulátoru na poruchy vstupující do uzavřeného regulačního obvodu filtrem s impulsním přenosem $\frac{H}{C}$ (při známém regresním modelu soustavy),
- 2) identifikace váhové funkce v uzavřeném regulačním obvodu,
- 3) činnost adaptivního regulátoru s identifikací váhové funkce modelu soustavy. Adaptivní regulátor byl ověřován při neproměnné soustavě.

Schéma zapojení modelu soustavy a filtru na analogovém počítači MEDA 43-HA ukazuje obr. 9-1. Toto zapojení a označení veličin vychází z popisu obr. 5.1-1, kde předpokládáme $w = 0$. Na analogovém počítači jsem namodeloval soustavu a filtr 1. i 2. řádu. Je-li tlačítko CP/SW 08 resp. CP/SW 18 vypnuto, pracujeme s filtrem resp. soustavou 1. řádu. V opačném případě máme k dispozici model soustavy a filtru 2. řádu.

Při ověřovacích výpočtech jsem pracoval s modelem soustavy a filtru 1. řádu, časová konstanta soustavy byla $T_s = 2\text{ s}$ a filtru $T_f = 1\text{ s}$. Poruchy jsem zadával plynule potenciometrem č.6. Chceme-li jiný charakter poruch, tak použijeme druhý vstup sumátoru č.31. Do míst, označených na obr. 9-1 zkratkou OSC, jsem připojil osciloskop a sledoval tak průběh veličin $d(t)$, $u(t)$ a $y(t)$.



Obr. 9-1 Model soustavy a filtru

V dalším jsem navrhl dvě dvojice regulátorů při známém modelu soustavy, viz tab. 9-1. Regulátory R_1 a R_2 jsou seřízeny na skok žádané hodnoty $w(t)$ a regulátory R_3 a R_4 na poruchy vstupující filtrem s impulsním přenosem $\frac{H}{C}$.

Regulátor	Impulsní přenos $\frac{N}{M}$
R_1	$\frac{- 0,2038 - (0,6982 \text{ E-1}) \cdot s}{1 + (0,3497) \cdot s}$
R_2	$\frac{- 0,2585 - (0,5939 \text{ E-1}) \cdot s}{1 + (0,2806) \cdot s}$
R_3	$\frac{- 0,1393 + (0,3541 \text{ E-1}) \cdot s}{1 - (0,4138 \text{ E-1}) \cdot s}$
R_4	$\frac{- 0,1257 + (0,4131 \text{ E-1}) \cdot s}{1 - (0,8440 \text{ E-1}) \cdot s}$

Tab. 9-1

Krok regulace jsem volil 3, tzn., že v prvním kroku regulátor změří veličinu $y(t)$, ve druhém kroku vypočte velikost akčního zásahu $\Delta u(j)$ a v následujícím kroku provede tento akční zásah. Periodu vzorkování jsem zadal $\Delta T = 2s$.

Identifikaci váhové funkce v uzavřeném regulačním obvodu jsem prováděl s výše uvedenými dvojicemi regulátorů. Jelikož byly výsledky identifikace velice citlivé na charakter vstupujících poruch, tak jsem identifikoval model soustavy s každou dvojicí regulátorů dvakrát.

V prvém případě jsem volil rychlé změny průběhu vstupujících poruch a ve druhém případě vstupovala nová porucha až po vyregulování poruchy předchozí (pomalá změna průběhu poruch).

Následující čtyři tabulky přehledně shrnují výsledky provedených identifikací a výpočtů. Výsledky v tabulkách 9-2 a 9-3 odpovídají identifikaci v uzavřeném regulačním obvodu se zapojeným regulátorem R_1 resp. R_2 , tzn. s regulátorem seřízeným na skok žádané hodnoty $w(t)$. Výsledky v tabulkách 9-4 a 9-5 odpovídají identifikaci se zapojeným regulátorem R_3 resp. R_4 , tzn. s regulátorem seřízeným na poruchy vstupující do obvodu filtrem s impulsním přenosem $\frac{H}{C}$. Výsledky v tabulkách 9-2 a 9-4 odpovídají případu, kdy vstupující porucha rychle měnila svůj průběh a výsledky v tabulkách 9-3 a 9-5 odpovídají případu, kdy následující porucha vstupovala až po vyregulování poruchy předchozí.

Poznámky k tabulkám 9-2 až 9-5:

- označení "OVERFLOW" znamená, že vypočtená hodnota čísla je větší než je maximální možné číslo, které počítač zpracuje,
- polynomy A, B, C, H jsou vypočteny metodou nejmenších čtverců, která byla upravena do algoritmu LD FILTRU.

Identifikovaná řada \hat{B}_1

$$\begin{array}{cccc} -0,9705 \text{ E+1} & -0,5171 & -0,8332 & -0,1397 \text{ E+1} \\ -0,4925 & -0,1426 \text{ E+1} & -0,1034 \text{ E+1} & -0,5989 \\ -0,5859 & +0,1685 & -0,1012 \text{ E+1} & -0,1899 \text{ E+1} \\ -0,1763 & +0,9328 \text{ E-1} & & \end{array}$$

Identifikovaná řada \hat{B}_2

$$\begin{array}{cccc} +0,1159 \text{ E+2} & -0,1382 \text{ E+1} & -0,4769 \text{ E+1} & -0,2502 \text{ E+1} \\ -0,3342 \text{ E+1} & -0,3522 \text{ E+1} & -0,4845 \text{ E+1} & -0,3031 \text{ E+1} \\ -0,4390 \text{ E+1} & +0,4722 & -0,9691 & -0,4822 \text{ E+1} \\ -0,5238 & -0,1309 \text{ E+1} & & \end{array}$$

Váhová funkce G^* (podíl $\frac{C}{H}$)

$$\begin{array}{cccc} +1 & -0,2051 \text{ E+2} & -0,1997 \text{ E+2} & -0,1651 \text{ E+2} \\ -0,1517 \text{ E+2} & -0,1207 \text{ E+2} & -0,9978 \text{ E+1} & -0,6241 \text{ E+1} \\ -0,3889 \text{ E+1} & -0,8968 \text{ E-1} & -0,3238 & -0,7020 \\ +0,2068 \text{ E+1} & +0,2454 \text{ E+1} & & \end{array}$$

Vypočtený polynom $\frac{B}{A}$

$$\begin{array}{cccc} +0,9092 \text{ E+2} & +0,1865 \text{ E+4} & +0,4005 \text{ E+5} & +0,8599 \text{ E+6} \\ +0,1847 \text{ E+8} & +0,3966 \text{ E+9} & & \text{OVERFLOW} \end{array}$$

Polynom C : +1 $-(0,2136 \text{ E+2}).s$

Polynom H : +1 $-0,8510.s$

Polynom B : +0,9091 E+2 $-(0,8722 \text{ E+2}).s$

Polynom A : +1 $-(0,2147 \text{ E+2}).s$

Tab. 9-2

Identifikovaná řada \hat{B}_1

$$\begin{array}{llll} -0,1099 \text{ E+3} & +0,1560 \text{ E+3} & -0,1263 \text{ E+3} & +0,1614 \text{ E+3} \\ -0,1221 \text{ E+3} & +0,7733 \text{ E+2} & -0,7178 \text{ E+2} & +0,3237 \text{ E+2} \\ -0,1277 \text{ E+2} & +0,2044 \text{ E+2} & -0,3366 \text{ E+2} & +0,3989 \text{ E+2} \\ -0,2162 \text{ E+2} & +0,2285 \text{ E+1} & & \end{array}$$

Identifikovaná řada \hat{B}_2

$$\begin{array}{llll} -0,7586 \text{ E+1} & +0,5264 \text{ E+1} & +0,8071 \text{ E-1} & -0,2658 \text{ E+1} \\ +0,1156 \text{ E+1} & +0,2053 & +0,7869 & -0,2028 \text{ E+1} \\ -0,6641 \text{ E-1} & -0,6085 \text{ E-3} & -0,7367 & +0,1183 \\ -0,1793 & +0,2268 & & \end{array}$$

Váhová funkce G^* (podíl $\frac{C}{H}$)

$$\begin{array}{llll} +1 & -0,9848 \text{ E+2} & +0,4523 \text{ E+2} & -0,1120 \text{ E+3} \\ +0,4714 \text{ E+2} & -0,7390 \text{ E+2} & +0,3804 \text{ E+1} & -0,6974 \text{ E+2} \\ -0,3393 \text{ E+2} & -0,4872 \text{ E+2} & -0,2711 \text{ E+2} & -0,5974 \text{ E+2} \\ -0,2101 \text{ E+2} & -0,4210 \text{ E+2} & & \end{array}$$

Vypočtený polynom $\frac{B}{A}$

$$+0,3734 \text{ E+3} +0,3624 \text{ E+5} +0,3503 \text{ E+7} +0,3483 \text{ E+9}$$

OVERFLOW

Polynom C : + 1 $-(0,9828 \text{ E+2}) \cdot s$

Polynom H : + 1 $+0,2155 \cdot s$

Polynom B : + 0,3734 E+3 $-(0,3638 \text{ E+3}) \cdot s$

Polynom A : + 1 $-(0,9803 \text{ E+2}) \cdot s$

Tab. 9-3

Identifikovaná řada \hat{B}_1

$$\begin{array}{cccc} -0,1234 \text{ E+2} & +0,1265 \text{ E+3} & +0,8895 \text{ E+2} & +0,5287 \text{ E+2} \\ -0,5415 \text{ E+2} & +0,2655 \text{ E+2} & +0,2632 & +0,1233 \text{ E+2} \\ -0,4811 \text{ E+2} & -0,2449 \text{ E+2} & -0,3004 \text{ E+1} & -0,3173 \text{ E+2} \\ +0,2536 \text{ E+2} & +0,4925 \text{ E+1} & & \end{array}$$

Identifikovaná řada \hat{B}_2

$$\begin{array}{cccc} -0,2108 \text{ E+2} & +0,1121 \text{ E+1} & +0,2489 \text{ E+2} & +0,9017 \text{ E+1} \\ -0,8486 \text{ E+1} & -0,6043 \text{ E+1} & +0,3216 \text{ E+1} & +0,1566 \text{ E+2} \\ +0,3307 \text{ E+1} & -0,9803 \text{ E+1} & -0,2705 \text{ E+1} & -0,3476 \text{ E+1} \\ -0,2396 \text{ E+1} & -0,9903 \text{ E-2} & & \end{array}$$

Váhová funkce G^* (podíl $\frac{C}{H}$)

$$\begin{array}{ccccc} +1 & +0,1318 \text{ E+3} & -0,1002 \text{ E+3} & -0,1011 \text{ E+3} \\ -0,1012 \text{ E+3} & -0,1622 \text{ E+2} & -0,9309 \text{ E+2} & -0,1052 \text{ E+3} \\ -0,8038 \text{ E+2} & -0,1682 \text{ E+2} & -0,3541 \text{ E+1} & -0,4739 \text{ E+2} \\ -0,9109 \text{ E+1} & -0,6269 \text{ E+2} & & \end{array}$$

Vypočtený polynom $\frac{B}{A}$

$$-0,1070 \text{ E+4} \quad +0,1426 \text{ E+6} \quad -0,1891 \text{ E+8} \quad \text{OVERFLOW}$$

Polynom C : + 1 $+ (0,1314 \text{ E+3}) \cdot s$

Polynom H : + 1 $- 0,4248 \cdot s$

Polynom B : - 0,1070 E+4 $+ (0,7823 \text{ E+3}) \cdot s$

Polynom A : + 1 $+ (0,1326 \text{ E+3}) \cdot s$

Tab. 9-4

Identifikovaná řada \hat{B}_1

$$\begin{array}{cccc} + 0,3246 \text{ E+2} & - 0,3388 \text{ E+2} & + 0,9871 \text{ E+1} & - 0,4780 \text{ E+1} \\ - 0,2589 \text{ E+2} & - 0,6045 & + 0,2709 \text{ E+1} & - 0,3998 \\ + 0,1414 \text{ E+1} & - 0,1914 \text{ E+1} & + 0,4817 \text{ E+1} & - 0,3803 \text{ E+1} \\ + 0,1656 & + 0,4932 & & \end{array}$$

Identifikovaná řada \hat{B}_2

$$\begin{array}{cccc} - 0,6494 \text{ E+1} & + 0,1307 \text{ E+2} & - 0,5010 \text{ E+1} & - 0,3857 \text{ E+1} \\ - 0,1136 \text{ E+1} & + 0,3935 \text{ E+1} & - 0,1846 \text{ E+1} & + 0,1380 \text{ E+1} \\ - 0,2355 & + 0,1888 \text{ E+1} & - 0,2641 \text{ E+1} & - 0,2396 \text{ E+1} \\ + 0,3212 \text{ E+1} & - 0,3693 & & \end{array}$$

Váhová funkce G^* (podíl $\frac{C}{H}$)

$$\begin{array}{cccc} + 1 & - 0,5016 \text{ E+2} & + 0,3713 \text{ E+2} & - 0,1255 \text{ E+2} \\ - 0,8314 \text{ E+1} & - 0,2358 \text{ E+1} & + 0,2171 \text{ E+1} & - 0,7287 \text{ E+2} \\ - 0,1969 \text{ E+1} & - 0,4774 \text{ E+1} & + 0,9183 & - 0,1110 \text{ E+2} \\ - 0,4476 \text{ E+1} & - 0,9500 & & \end{array}$$

Vypočtený polynom $\frac{B}{A}$

$$+ 0,3925 \text{ E+3} \quad + 0,1910 \text{ E+5} \quad + 0,9436 \text{ E+6} \quad + 0,4662 \text{ E+8}$$

OVERFLOW

Polynom C : + 1 $-(0,4966 \text{ E+2}) \cdot s$

Polynom H : + 1 $+ 0,4966 \cdot s$

Polynom B : + 0,3925 E+3 $-(0,2897 \text{ E+3}) \cdot s$

Polynom A : + 1 $-(0,4941 \text{ E+2}) \cdot s$

Tab. 9-5

Kontrolním výpočtem na číslicovém počítači RPP-16S byla ověřena identifikace v uzavřeném regulačním obvodu, viz obr. 6.1-1, do kterého vstupoval diskrétní bílý šum D. Výpočet byl proveden se stabilním polynomem H filtru. Soustava byla volena také stabilní, polynom A byl stabilní. Pro identifikaci byla použita regresní rovnice (6.2-4). Tímto kontrolním příkladem byla ověřena správnost vztahů (6.2-15), (6.2-16), (6.2-17) a (6.2-18), které byly naprogramovány ve strojovém kódu mikroprocesoru 8080 A na mikropočítači SAPI 1, viz příloha č.1.

Pro příklad uvedený v příloze č.3 byly voleny polynomy:

$$\begin{aligned}A &= 1 - 0,5 \cdot s, \\B &= 0,3 + 0,2 \cdot s, \\C &= 1 - 0,6 \cdot s, \\H &= 1 + 0,33 \cdot s, \\M_1 &= 1 + 0,19 \cdot s, \\N_1 &= -1,54 + 0,77 \cdot s, \\M_2 &= 1 + 0,5 \cdot s, \\N_2 &= -5 + 0,5 \cdot s.\end{aligned}$$

10. POPIS PŘÍLOH

V příloze č.1 jsou programy, které jsem vypracoval v rámci zadání diplomové práce. Tyto programy jsou využity v algoritmu diskutovaného adaptivního regulátoru a jsou napsány ve strojovém kódu mikroprocesoru 8080 A. Při jejich sestavování jsem použil i podprogramy z knihovny FTAR.LIB pro mikropočítače a mikroprocesor 8080.

Příloha č.1 obsahuje tyto programy:

- podíl dvou polynomů, viz (10-1) a obr. 10-1,
- nalezení následující adresy za vektorem,
- nulování vektoru,
- násobení vektoru komplexní proměnnou s ,
- dělení vektoru komplexní proměnnou s ,
- násobení vektoru konstantou (-1),
- přesunutí vektoru v paměti,
- výpočet váhové funkce G^* podle vztahu (6.2-17).

Program "PODÍL POLYNOMŮ" vydělí dva polynomy obecně různé délky, viz (10-1), a výsledek uloží do paměti na libovolné místo.

$$\frac{B}{A} = G \quad (10-1)$$

$$\text{kde je } B = b_0 + b_1 \cdot s + b_2 \cdot s^2 + \dots + b_{m-1} \cdot s^{m-1},$$

$$A = a_0 + a_1 \cdot s + a_2 \cdot s^2 + \dots + a_{n-1} \cdot s^{n-1},$$

$$G = g_0 + g_1 \cdot s + g_2 \cdot s^2 + \dots + g_{k-1} \cdot s^{k-1}.$$

Před odstartováním programu je nutno obsadit tyto proměnné:

ADRBK - adresa vektoru B (dělenec),

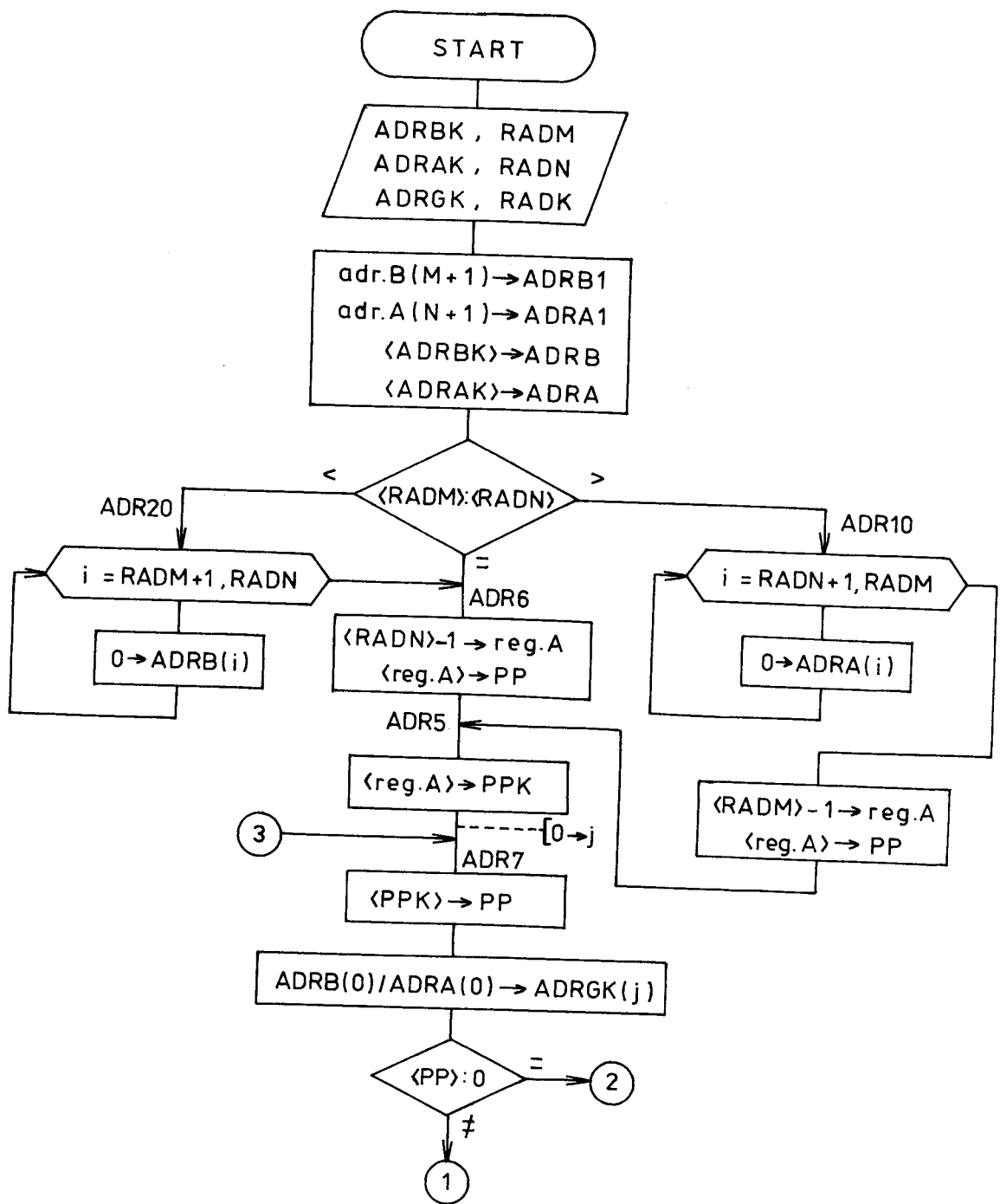
ADRAK - adresa vektoru A (dělitel),

ADRGK - adresa vektoru G (podíl),

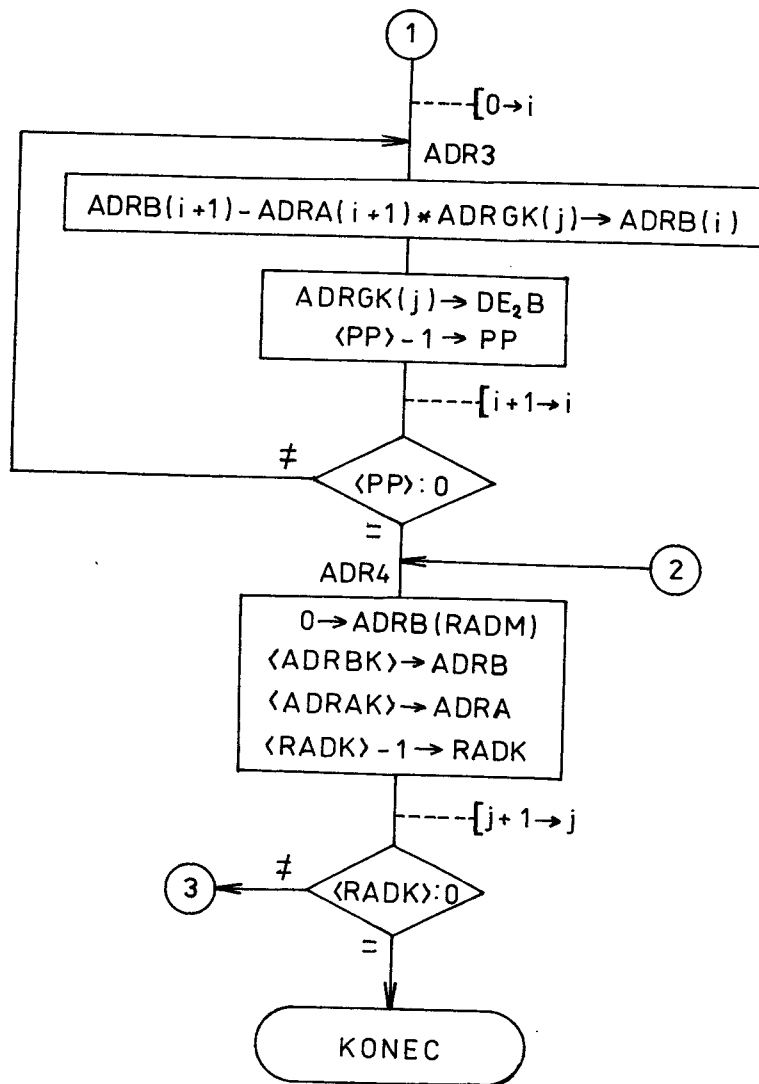
RADM - počet koeficientů vektoru B,

RADN - počet koeficientů vektoru A,

RADK - počet koeficientů vektoru G.



Obr. 10-1a Vývojový diagram – podíl polynomů (začátek)



Obr. 10-1b Vývojový diagram – podíl polynomů (pokračování)

Vysvětlivky k vývojovému diagramu z obr. 10-1:

- reg.A – vnitřní registr mikroprocesoru
- DE_2B – 3-bytové číslo uložené v registrech D, E a B
- $\langle \rangle$ – obsah dané proměnné, popř. registru

Příloha č.2 je výpis programu, který jsem převzal z práce /8/. Program jsem upravil tak, aby vyhovoval námi řešenému případu identifikace, viz odst. 6.2. Uvedeným programem jsou vypočteny koeficienty identifikovaných řad \hat{B}_1 a \hat{B}_2 , viz (6.2-15) a (6.2-16), a koeficienty polynomů vyjádřených podíly $\frac{C}{H^+}$ a $\frac{B}{A^+}$, viz (6.2-17) a (6.2-18). V příloze č.3 je pak grafické znázornění výše uvedených řad a polynomů. Obě přílohy sloužily jako kontrolní příklad pro ověření správnosti programů sestavených pro mikropočítač SAPI 1.

11. ZÁVĚR

Úkolem diplomové práce bylo prostudovat problematiku adaptivní regulace v uzavřeném regulačním obvodu a naprogramovat část algoritmu adaptivního číslicového regulátoru, který využívá dvouetapové metody identifikace soustavy v uzavřené regulační smyčce. Na mikropočítači SAPI 1 jsem naprogramoval a odladil program na výpočet váhové funkce $G^* = \frac{C}{H^+}$ podle vztahu (6.2-17), který jsem pak spojil s dalšími programy do algoritmu výše uvedeného adaptivního regulátoru.

Při ověřovacích výpočtech jsme vycházeli ze znalosti řádu polynomů soustavy a filtru, tudíž je to úloha jednodušší oproti identifikaci v praxi, kde musíme určovat i řád soustav. Provedli jsme dvakrát identifikaci váhové funkce modelu soustavy při zapojení dvou různých regulátorů v uzavřeném regulačním obvodu. Soustava byla prvního řádu a diskrétní dopravní zpoždění k jsme zvolili $k=1$. Jelikož v identifikaci části adaptivního regulátoru jsme vypočítali polynom A^+ , uvedený adaptivní regulátor je použitelný pouze pro stabilní soustavy. Určili jsme polynomy modelu soustavy A^+ , B a filtru C , H^+ . Ukazuje se však, že zvolený algoritmus adaptivního regulátoru ve všech ověřovaných případech selhal, protože polynom $\frac{B}{A}$ vždy vycházel nestabilní, ačkoli jsme očekávali, že tento podíl bude stabilní, neboť filtr s impulsním přenosem $\frac{H}{C}$ měl ve jmenovateli stabilní polynom C . Provedli jsme tedy diskusi stability jmenovatele $(M_1 \cdot N_2^+ - M_2 \cdot N_1^+)$ ze vztahu (6.2-17). Ale ani poté se výsledky nezměnily, ačkoli byl tento jmenovatel stabilní.

Výsledky identifikace modelu soustavy byly také velice závislé na způsobu zavádění a charakteru vstupujících poruch. Tyto poruchy byly plynulé a vytvářeli jsme je potenciometrem, takže byly jen naším subjektivním výsledkem a nemusely mít

vždy střední hodnotu nulovou. Tím pádem může nastat i rozpor s diskutovanou problematikou adaptivní regulace, kde se předpokládá, že poruchy mají nulovou střední hodnotu. To by mohl být jeden z důvodů "neúspěchu", protože obdobný algoritmus adaptivního regulátoru s identifikací ARMAX modelu soustavy byl v minulých letech na VŠST diskutován a ověřen na číscovém počítači. Proto se již nyní připravuje do budoucna generátor náhodných signálů na analogovém počítači.

Identifikace soustavy v uzavřeném regulačním obvodu je složitá a problematická, neboť v uzavřené smyčce je ovlivňován vstup soustavy jejím výstupem přes regulátor. S ohledem na výsledky ověřovacích příkladů nedoporučujeme zatím používat diskutovaný adaptivní regulátor v praxi.

SEZNAM POUŽITÉ LITERATURY

- /1/ Aström, K.J.: Maximum likelihood and prediction error methods. In Trends and progress in system identification. Edited by Pieter Eykheff, Pergamon Press, 1981.
- /2/ Hanuš, B., Balda, M.: Základy technické kybernetiky I. a II. část. Skripta VUT Brno, 1981.
- /3/ Hanuš, B., Balátě, J., Švarc, J., Zikeš, F.: Teorie automatického řízení I. a II. část. Skripta VŠST Liberec, 1982.
- /4/ Hudec, B.: Strojově orientované jazyky. Skripta ČVUT Praha, 1984.
- /5/ Janeček, B.: Návrh vhodných způsobů řízení vyššího typu zvláště pak typu adaptivního pro energetické procesy. Výzkumná zpráva KTK - 0115, VŠST Liberec, 1984.
- /6/ Janeček, B.: Algoritmus adaptivního iteračního číslicového regulátoru. Výzkumná zpráva KTK - 0116, VŠST Liberec, 1983.
- /7/ Kotek, Z., Chalupa, V., Brůha, I., Jelínek, J.: Adaptivní a učící se systémy. SNTL Praha, Alfa Bratislava, 1980.
- /8/ Kykal, J.: Návrh a ověření činnosti adaptivního regulátoru s identifikací ARMAX modelu soustavy. Diplomová práce, KTK - ASR - SF 093, VŠST Liberec, 1985.

- /9/ Peterka, V.: Číslicové řízení procesů s náhodnými poruchami a neurčitými charakteristikami. Doktorská disertační práce, Praha, ČSAV ÚTIA, 1975.
- /10/ Peterka, V., Böhm, J., Halousková, A., Kárný, M., Maršík, J.: Algoritmy pro adaptivní mikroprocesorovou regulaci technologických procesů. (Interní publikace), Praha, ČSAV ÚTIA, 1982.
- /11/ Stránská, J.: Návrh a vypracování algoritmu číslicového regulátoru pro lineární dynamickou soustavu, do které vstupují náhodné poruchy lineárním filtrem. Diplomová práce, KTK - ASŘ - TF 086, VŠST Liberec, 1984.
- /12/ Strejč, V.: Syntéza regulačních obvodů s číslicovým počítačem. Praha, ČSAV, 1965.
- /13/ Strejč, V.: Stavová teorie lineárního diskrétního řízení. Praha, Academia, 1978.
- /14/ Vavřín, P. a kolektiv: Malá encyklopédie elektrotechniky, Automatizační technika, SNTL Praha, 1983.
- /15/ Základní informace SAPI 1, Expres informace č.20, TESLA DIZ

SEZNAM PŘÍLOH

Příloha č.1: Výpis programu ve strojovém kódu mikroprocesoru 8080 A - program na dělení dvou polynomů a program na výpočet váhové funkce G^* podle vztahu (6.2-17).

Příloha č.2: Výpis programu v jazyku RPP - FORTRAN - program na výpočet řad \hat{B}_1 a \hat{B}_2 podle vztahů (6.2-15) a (6.2-16), polynomu $\frac{C}{H^+}$ podle (6.2-17) a polynomu $\frac{B}{A^+}$ podle (6.2-18).

Příloha č.3: Vypočtené koeficienty řad \hat{B}_1 , \hat{B}_2 a polynomů $\frac{C}{H^+}$, $\frac{B}{A^+}$ a jejich grafické znázornění.

PŘÍLOHA č.1

Analýza vývoje nejvyšších hodnot sítě a vývoje počtu jednotlivých kategorií výroby.

1. ANALÝZA VÝVOJE

ROK	VÝROBA - CENOVÁ KATEGORIE	POČET
1990	Kategorie 1	15
1991	Kategorie 2	4
1992	Kategorie 3	10
1993	Kategorie 4	3
1994	Kategorie 5	5
1995	Kategorie 6	12
1996	Kategorie 7	8
1997	Kategorie 8	10
1998	Kategorie 9	12
1999	Kategorie 10	10
2000	Kategorie 11	10
2001	Kategorie 12	15
2002	Kategorie 13	12
2003	Kategorie 14	15
2004	Kategorie 15	12
2005	Kategorie 16	12
2006	Kategorie 17	10
2007	Kategorie 18	12
2008	Kategorie 19	15
2009	Kategorie 20	18
2010	Kategorie 21	18
2011	Kategorie 22	20
2012	Kategorie 23	22
2013	Kategorie 24	25
2014	Kategorie 25	28
2015	Kategorie 26	30
2016	Kategorie 27	32
2017	Kategorie 28	35
2018	Kategorie 29	38
2019	Kategorie 30	40

2. ANALÝZA TENDENCIA

ROK	VÝROBA - CENOVÁ KATEGORIE	POČET
1990	Kategorie 1	15
1991	Kategorie 2	4
1992	Kategorie 3	10
1993	Kategorie 4	3
1994	Kategorie 5	5
1995	Kategorie 6	12
1996	Kategorie 7	8
1997	Kategorie 8	10
1998	Kategorie 9	12
1999	Kategorie 10	10
2000	Kategorie 11	10
2001	Kategorie 12	15
2002	Kategorie 13	12
2003	Kategorie 14	15
2004	Kategorie 15	12
2005	Kategorie 16	12
2006	Kategorie 17	10
2007	Kategorie 18	12
2008	Kategorie 19	15
2009	Kategorie 20	18
2010	Kategorie 21	18
2011	Kategorie 22	20
2012	Kategorie 23	22
2013	Kategorie 24	25
2014	Kategorie 25	28
2015	Kategorie 26	30
2016	Kategorie 27	32
2017	Kategorie 28	35
2018	Kategorie 29	38
2019	Kategorie 30	40

PŘÍLOHA č.1

CROSSASSEMBLER JSA INTEL - MOS-2 DATE 20/05/86 TIME 13:00 PAGE 1

```

1      ;
2      ; PODPROGRAMY
3      ;
4      EQU    FTSBX  4404;   ; X=Y-X
5      EQU    FTMUL  445F;   ; X=X*Y
6      EQU    FTDYX  44C5;   ; X=Y/X
7      EQU    FTLXH  4696;   ; KADR HL> NA X
10     EQU    FTLYH  469D;   ; KADR HL> NA Y
11     EQU    FTSXH  46A4;   ; X NA ADR HL
12     EQU    MULWH  4CF8;   ; <DE>*<HL> NA DE
13     EQU    ADDAB  0D2DD;   ; SOUCET POLYNOMU: C = A + B
14     EQU    NASS   0D590;   ; NASOBENI DVOJCLENEM (1-S)
15     EQU    MULAB  0EA00;   ; SOUCIN POLYNOMU: C = A * B
16     EQU    DIVBA  0F000;   ; PODIL POLYNOMU : G = B / A
17     EQU    ADRVE  0FOEB;   ; NALEZENI NASLEDUJICI ADR ZA VEKT.
20     EQU    NULVE  0F0F8;   ; NULOVANI VEKTORU
21     EQU    MULS   0F105;   ; NASOBENI KOMPLEXNI PROMENNOU S
22     EQU    DIVS   0F12D;   ; DELENI KOMPLEXNI PROMENNOU S
23     EQU    MUL1   0F14B;   ; NASOBENI KONST. (-1)
24     EQU    MOVE   0F172;   ; PRESUNUTI VEKTORU V PAMETI
25     EQU    FCEG   0F189;   ; VAHOVA FUNKCE "G"
26     ;
27     ; PROMENNE
28     ;
29
30
31     EQU    NG    0D000;   ;1B POCET KOEF. "G"
32     EQU    CYKL  0D010;   ;1B POCET KOEF. "C"
33     EQU    CYKL1 0D012;   ;1B POCET KOEF. "A"
34     EQU    CYKL2 0D017;   ;1B POCET KOEF. "B"
35     EQU    ADR2   0D028;   ;2B ADR VEKTORU "B" (2.SCITANEC)
36     EQU    ADR1   0D02A;   ;2B ADR VEKTORU "A" (1.SCITANEC)
37     EQU    ADR   0D02C;   ;2B ADR VEKTORU "C" (SOUCET)
40     EQU    GP    0DF00;   ; VEKTOR 60*3B - LDFIL
41     EQU    DR1   0E1CA;   ;1B POCET KOEF. REGULATORU 1
42     EQU    DR2   0E1CB;   ;1B POCET KOEF. REGULATORU 2
43     EQU    PM1   0E200;   ; VEKTOR 8*3B PM REGULATORU 1
44     EQU    PN1   0E218;   ; VEKTOR 8*3B PN REGULATORU 1
45     EQU    PM2   0E230;   ; VEKTOR 8*3B PM REGULATORU 2
46     EQU    PN2   0E248;   ; VEKTOR 8*3B PN REGULATORU 2
47     EQU    NM    0EAA0;   ;1B POCET KOEF. "C"
50     EQU    N    0EAA1;   ;1B POCET KOEF. "A"
51     EQU    M    0EAA2;   ;1B POCET KOEF. "B"
52     EQU    AP    0EAB0;   ;2B ADR VEKTORU "A" (NASOBENEC)
53     EQU    BP    0EAB2;   ;2B ADR VEKTORU "B" (NASOBITEL)
54     EQU    CP    0EAB4;   ;2B ADR VEKTORU "C" (SOUCIN)
55     EQU    NRV1  0FB00;   ;1B POCET KOEF. RADY B1
56     EQU    ULD1  0FB01;   ; VEKTOR 85*3B - IDENTIF. RADA B1
57     EQU    NRV2  0FC00;   ;1B POCET KOEF. RADY B2
60     EQU    ULD2  0FC01;   ; VEKTOR 85*3B - IDENTIF. RADA B2
61     EQU    VYSL1 0FD00;   ; VEKTOR 69*3B - 1.MEZIVYSLEDEK
62     EQU    VYSL2  0FDD0;   ; VEKTOR 18*3B - 2.MEZIVYSLEDEK
63     EQU    VYSL3  0FE08;   ; VEKTOR 61*3B - 3.MEZIVYSLEDEK
64     EQU    RADM  OFFE0;   ;1B POCET KOEF. "B"
65     EQU    RADN  OFFE1;   ;1B POCET KOEF. "A"
66     EQU    RADK  OFFE2;   ;1B POCET KOEF. "G"
67     EQU    ADRB  OFFE3;   ;2B ADR KOEF. B NA VEKTORU "B"
70     EQU    ADRA  OFFE5;   ;2B ADR KOEF. A NA VEKTORU "A"

```

=====
CROSSASSEMBLER JSA INTEL - MOS-2 DATE 20/05/86 TIME 13:01 PAGE 2
=====

71	EQU	POM1	OFFE73	41B	POMOCNA FROMENNA	
72	EQU	POM2	OFFE83	41B	POMOCNA FROMENNA	
73	EQU	ADRB1	OFFE93	42B	ADR KDEF. B(M+1)	
74	EQU	ADRA1	OFFE3	42B	ADR KDEF. A(N+1)	
75	EQU	MINUS1	OFFED3	43B	KONSTANTA (-1)	
76	EQU	PP	OFFF03	41B	POMOCNA FROMENNA VINTR. CYKLU	
77	EQU	PPK	OFFF13	41B	POMOCNA FROMENNA VINTR. CYKLU	
100	EQU	ADRBK	OFFF23	42B	ADR VEKTORU "B" (DELENCE)	
101	EQU	ADRAK	OFFF53	42B	ADR VEKTORU "A" (DELITLE)	
102	EQU	ADRGRK	OFFF73	42B	ADR VEKTORU "G" (PODIL)	
103	EQU	PLUS1	OFFF93	43B	KONSTANTA (+1)	
104	EQU	EJECT				

=====
CROSSASSEMBLER JSA INTEL - MOS-2 DATE 20/05/86 TIME 13:01 PAGE 3
=====

105	0000		ORG	0F000H	
106		;			
107		;	P O D I L	P O L Y N O M U	
110		;			
111	F000	3A E0 FF	DIVBA:	LDA	RADM
112	F003	4F		MOV	C, A
113	F004	2A F3 FF		LHLD	ADRBK
114	F007	CD EB F0		CALL	ADRVE
115	F00A	22 E9 FF		SHLD	ADRB1
116	F00D	3A E1 FF		LDA	RADN
117	F010	4F		MOV	C, A
120	F011	2A F5 FF		LHLD	ADRAK
121	F014	CD EB F0		CALL	ADRVE
122	F017	22 E8 FF		SHLD	ADRA1
123	F01A	2A F3 FF		LHLD	ADRBK
124	F01D	22 E3 FF		SHLD	ADRB
125	F020	2A F5 FF		LHLD	ADRAK
126	F023	22 E5 FF		SHLD	ADRA
127	F026	3A E0 FF		LDA	RADM
130	F029	21 E1 FF		LXI	H, RADN
131	F02C	BE		CMP	M
132	F02D	CA 36 F0		JZ	ADR6
133	F030	D2 C1 F0		JNC	ADR10; ;M>N
134	F033	C3 DA F0		JMP	ADR20; ;M<N
135		;			
136	F036	21 E1 FF	ADR6:	LXI	H, RADN
137	F039	7E		MOV	A, M
140	F03A	3D		DCR	A
141	F03B	32 F0 FF		STA	PP
142		;			
143	F03E	32 F1 FF	ADR5:	STA	PPK
144		;			
145	F041	3A F1 FF	ADR7:	LDA	PPK; ;VNEJSI CYKLUS
146	F044	32 F0 FF		STA	PP
147	F047	2A F5 FF		LHLD	ADRAK
150	F04A	CD 96 46		CALL	FTLXH
151	F04D	2A F3 FF		LHLD	ADRBK
152	F050	CD 9D 46		CALL	FTLYH
153	F053	CD C5 44		CALL	FTDYX
154	F056	2A F7 FF		LHLD	ADRGK
155	F059	CD A4 46		CALL	FTSXH
156	F05C	3A F0 FF		LDA	PP
157	F05F	FE 00		CPI	00H
160	F061	CA 97 F0		JZ	ADR4
161		;			
162	F064	2A E5 FF	ADR3:	LHLD	ADRA; ;VNITRNI CYKLUS
163	F067	23		INX	H
164	F068	23		INX	H
165	F069	23		INX	H
166	F06A	22 E5 FF		SHLD	ADRA
167	F06D	CD 9D 46		CALL	FTLYH
170	F070	CD 5F 44		CALL	FTMUL
171	F073	2A E3 FF		LHLD	ADRB
172	F076	23		INX	H
173	F077	23		INX	H
174	F078	23		INX	H

```

175 F079 CD 9D 46      CALL  FTLYH
176 F07C CD 04 44      CALL  FTSBX
177 F07F 2A E3 FF      LHLD ADRB
200 F082 CD A4 46      CALL  FTSXH
201 F085 22 E3 FF      SHLD ADRB
202 F088 2A F7 FF      LHLD ADRGK
203 F08B CD 96 46      CALL  FTLXH
204 F08E 21 F0 FF      LXI   H,  PP
205 F091 4E             MOV   C,  M
206 F092 0D             DCR   C
207 F093 71             MOV   M,  C
210 F094 C2 64 F0      JNZ   ADR3
211 ;                   ;
212 F097 2A F7 FF      LHLD ADRGK
213 F09A 23             INX   H
214 F09B 23             INX   H
215 F09C 23             INX   H
216 F09D 22 F7 FF      SHLD ADRGK
217 F0A0 2A E3 FF      LHLD ADRB
220 F0A3 11 00 00      LXI   D,  0000H
221 F0A6 06 00          MVI   B,  00H
222 F0A8 CD A4 46      CALL  FTSXH
223 F0AB 2A F3 FF      LHLD ADRBK
224 F0AE 22 E3 FF      SHLD ADRB
225 F0B1 2A F5 FF      LHLD ADRAK
226 F0B4 22 E5 FF      SHLD ADRA
227 F0B7 21 E2 FF      LXI   H,  RADK
230 F0BA 4E             MOV   C,  M
231 F0BB 0D             DCR   C
232 F0BC 71             MOV   M,  C
233 F0BD C2 41 F0      JNZ   ADR7
234 F0C0 C9             RET
235 ;                   ;
236 F0C1 3A E0 FF      ADR10: LDA   RADM;      ;M>N
237 F0C4 21 E1 FF      LXI   H,  RADN
240 F0C7 96             SUB   M
241 F0C8 4F             MOV   C,  A
242 F0C9 2A EB FF      LHLD ADRA1
243 F0CC CD F8 F0      CALL  NULVE
244 F0CF 21 E0 FF      LXI   H,  RADM
245 F0D2 7E             MOV   A,  M
246 F0D3 3D             DCR   A
247 F0D4 32 F0 FF      STA   PP
250 F0D7 C3 3E F0      JMP   ADR5
251 ;                   ;
252 F0DA 3A E1 FF      ADR20: LDA   RADN;      ;M<N
253 F0DD 21 E0 FF      LXI   H,  RADM
254 F0E0 96             SUB   M
255 F0E1 4F             MOV   C,  A
256 F0E2 2A E9 FF      LHLD ADRB1
257 F0E5 CD F8 F0      CALL  NULVE
260 F0E8 C3 36 F0      JMP   ADR6
261 ;                   ;
262 ;                   EJECT

```

263 ;
264 ;NALEZENI NASLEDUJICI ADRESY ZA VEKTOREM
265 ;ADR DO HL, DELKA VEKTORU DO C
266 ;
267 F0EB E5 ADRVE: PUSH H
270 F0EC 59 MOV E, C
271 F0ED 16 00 MVI D, 00H
272 F0EF 21 03 00 LXI H, 0003H
273 F0F2 CD FB 4C CALL MULWH
274 F0F5 E1 POP H
275 F0F6 19 DAD D
276 F0F7 C9 RET
277 ;
300 ;
301 ;NULOVANI VEKTORU, ADR DO HL, DELKA VEKTORU DO C
302 ;
303 F0F8 11 00 00 NULVE: LXI D, 0000H
304 F0FB 06 00 MVI B, 00H
305 ;
306 F0FD CD A4 46 CY103: CALL FTSXH
307 F100 0D DCR C
310 F101 C2 FD F0 JNZ CY103
311 F104 C9 RET
312 ;
313 ;
314 ;NASOBENI VEKTORU KOMPLEXNI PROMENOU S
315 ;ADR DO HL, DELKA VEKTORU DO C
316 ;
317 F105 C5 MULS: PUSH B
320 F106 0D DCR C
321 F107 C5 PUSH B
322 F108 CD EB F0 CALL ADRVE
323 ;
324 F10B E5 CY100: PUSH H
325 F10C CD 96 46 CALL FTLXH
326 F10F CD A4 46 CALL FTSXH
327 F112 E1 POP H
330 F113 2B DCX H
331 F114 2B DCX H
332 F115 2B DCX H
333 F116 C1 POP B
334 F117 0D DCR C
335 F118 C5 PUSH B
336 F119 F2 0B F1 JP CY100
337 F11C 23 INX H
340 F11D 23 INX H
341 F11E 23 INX H
342 F11F E5 PUSH H
343 F120 11 00 00 LXI D, 0000H
344 F123 06 00 MVI B, 00H
345 F125 CD A4 46 CALL FTSXH
346 F128 E1 POP H; ADRESA VEKTORU V HL
347 F129 C1 POP B
350 F12A C1 POP B
351 F12B 0C INR C; DELKA VEKTORU +1 V C
352 F12C C9 RET

353 ;
354 ;DELENI VEKTORU KOMPLEXNI PROMENOU S
355 ;ADR DO HL, DELKA VEKTORU DO C (ZUSTANE NEZMENENA)
356 ;
357 F12D C5 DIVS: PUSH B
360 F12E 54 MOV D, H
361 F12F 5D MOV E, L
362 F130 1B DCX D
363 F131 1B DCX D
364 F132 1B DCX D
365 F133 D5 PUSH D
366 ;
367 F134 D5 CY102: PUSH D
370 F135 CD 96 46 CALL FTLXH
371 F138 E1 POP H
372 F139 E5 PUSH H
373 F13A CD A4 46 CALL FTSXH
374 F13D 23 INX H
375 F13E 23 INX H
376 F13F 23 INX H
377 F140 D1 POP D
400 F141 13 INX D
401 F142 13 INX D
402 F143 13 INX D
403 F144 0D DCR C
404 F145 C2 34 F1 JNZ CY102
405 F148 E1 POP H; ;NOVA ADR POSUNUTEHO VEKTORU V HL
406 F149 C1 POP B; ;DELKA VEKTORU V C
407 F14A C9 RET ;ADR NASLEDUJICI ZA VEKTOREM V DE
410 ;
411 ;
412 ;NASOBENI VEKTORU KONSTANTOU (-1)
413 ;ADR DO HL, DELKA VEKTORU DO C
414 ;NOVY VEKTOR ZUSTANE NA MISTE PUVODNIHO
415 ;
416 F14B C5 MUL1: PUSH B
417 F14C E5 PUSH H
420 F14D 11 00 C0 LXI D, 0C000H
421 F150 06 41 MVI B, 41H
422 F152 21 ED FF LXI H, MINUS1
423 F155 CD A4 46 CALL FTSXH
424 F158 E1 POP H
425 ;
426 F159 E5 CY101: PUSH H
427 F15A CD 96 46 CALL FTLXH
430 F15D 21 ED FF LXI H, MINUS1
431 F160 CD 9D 46 CALL FTLYH
432 F163 CD 5F 44 CALL FTMUL
433 F166 E1 POP H
434 F167 CD A4 46 CALL FTSXH
435 F16A C1 POP B
436 F16B 0D DCR C
437 F16C C5 PUSH B
440 F16D C2 59 F1 JNZ CY101
441 F170 C1 POP B
442 F171 C9 RET

443 ;
444 ;PRESUNUTI VEKTORU V PAMETI
445 ;ADR PUVOVNIHO VEKTORU DO HL, ADR NOVEHO VEKTORU DO DE
446 ;DELKA VEKTORU DO C
447 ;
450 F172 C5 MOVE: PUSH B
451 F173 D5 PUSH D
452 F174 CD 96 46 CALL FTLXH
453 F177 7A MOV A, D
454 F178 4B MOV C, E
455 F179 D1 POP D
456 F17A EB XCHG
457 F17B D5 PUSH D
460 F17C 57 MOV D, A
461 F17D 59 MOV E, C
462 F17E CD A4 46 CALL FTSXH
463 F181 D1 POP D
464 F182 EB XCHG
465 F183 C1 POP B
466 F184 0D DCR C
467 F185 C2 72 F1 JNZ MOVE
470 F188 C9 RET
471 ;
472 ;
473 ; V A H O V A F U N K C E G* = C / H
474 ;
475 F189 11 00 40 FCEG: LXI D, 4000H
476 F18C 06 41 MVI B, 41H
477 F18E 21 F9 FF LXI H, PLUS1
500 F191 CD A4 46 CALL FTSXH
501 F194 3A CA E1 LDA DR1
502 F197 32 A1 EA STA N
503 F19A 21 00 E2 LXI H, PM1
504 F19D 22 B0 EA SHLD AP
505 F1A0 3A CB E1 LDA DR2
506 F1A3 32 A2 EA STA M
507 F1A6 21 48 E2 LXI H, PN2
510 F1A9 22 B2 EA SHLD BP
511 F1AC 21 D0 FD LXI H, VYSL2
512 F1AF 22 B4 EA SHLD CP
513 F1B2 CD 00 EA CALL MULAB; ;M1*N2 NA VYSL2
514 F1B5 3A A0 EA LDA NM
515 F1B8 32 E8 FF STA POM2; ;DELKA VYSL2 NA POM2
516 F1BB 3A CB E1 LDA DR2
517 F1BE 32 A1 EA STA N
520 F1C1 21 30 E2 LXI H, PM2
521 F1C4 22 B0 EA SHLD AP
522 F1C7 3A CA E1 LDA DR1
523 F1CA 32 A2 EA STA M
524 F1CD 21 18 E2 LXI H, PN1
525 F1D0 22 B2 EA SHLD BP
526 F1D3 21 08 FE LXI H, VYSL3
527 F1D6 22 B4 EA SHLD CP
530 F1D9 CD 00 EA CALL MULAB; ;M2*N1 NA VYSL3
531 F1DC 3A A0 EA LDA NM
532 F1DF 32 E7 FF STA POM1; ;DELKA VYSL3 NA POM1

533	F1E2	4F	MOV	C, A	
534	F1E3	21 08 FE	LXI	H, VYSL3	
535	F1E6	CD 4B F1	CALL	MUL1;	;M2*N1 NA VYSL3
536	F1E9	3A E7 FF	LDA	POM1	
537	F1EC	32 12 D0	STA	CYKL1	
540	F1EF	21 08 FE	LXI	H, VYSL3	
541	F1F2	22 2A D0	SHLD	ADR1	
542	F1F5	3A E8 FF	LDA	POM2	
543	F1F8	32 17 D0	STA	CYKL2	
544	F1FB	21 D0 FD	LXI	H, VYSL2	
545	F1FE	22 28 D0	SHLD	ADR2	
546	F201	21 08 FE	LXI	H, VYSL3	
547	F204	22 2C D0	SHLD	ADR	
550	F207	CD DD D2	CALL	ADDAB;	;M1*N2-M2*N1 NA VYSL3
551	F20A	3A 10 D0	LDA	CYKL	
552	F20D	32 E8 FF	STA	POM2;	;DELKA VYSL3 NA POM2
553	F210	21 08 FE	LXI	H, VYSL3	
554	F213	11 D0 FD	LXI	D, VYSL2	
555	F216	3A E8 FF	LDA	POM2	
556	F219	CD 90 D5	CALL	NASS;	;JMEN=(1-S)*(M1*N2-M2*N1) NA VYSL2
557	F21C	3A E8 FF	LDA	POM2	
560	F21F	3C	INR	A	
561	F220	32 E8 FF	STA	POM2;	;DELKA VYSL2 NA POM2
562	F223	21 01 FC	LXI	H, ULD2	
563	F226	3A 00 FC	LDA	NRV2	
564	F229	4F	MOV	C, A	
565	F22A	CD 4B F1	CALL	MUL1;	;B2*(-1) NA B2
566	F22D	3A 00 FB	LDA	NRV1	
567	F230	32 12 D0	STA	CYKL1	
570	F233	21 01 FB	LXI	H, ULD1	
571	F236	22 2A D0	SHLD	ADR1	
572	F239	3A 00 FC	LDA	NRV2	
573	F23C	32 17 D0	STA	CYKL2	
574	F23F	21 01 FC	LXI	H, ULD2	
575	F242	22 28 D0	SHLD	ADR2	
576	F245	21 00 FD	LXI	H, VYSL1	
577	F248	22 2C D0	SHLD	ADR	
600	F24B	CD DD D2	CALL	ADDAB;	;B1-B2 NA VYSL1
601	F24E	3A 10 D0	LDA	CYKL	
602	F251	32 E7 FF	STA	POM1;	;DELKA VYSL1 NA POM1
603	F254	21 01 FC	LXI	H, ULD2	
604	F257	3A 00 FC	LDA	NRV2	
605	F25A	4F	MOV	C, A	
606	F25B	CD 4B F1	CALL	MUL1;	;B2*(-1) NA B2
607	F25E	3A E7 FF	LDA	POM1	
610	F261	32 A1 EA	STA	N	
611	F264	21 00 FD	LXI	H, VYSL1	
612	F267	22 B0 EA	SHLD	AP	
613	F26A	3A CA E1	LDA	DR1	
614	F26D	32 A2 EA	STA	M	
615	F270	21 18 E2	LXI	H, FN1	
616	F273	22 B2 EA	SHLD	BP	
617	F276	21 08 FE	LXI	H, VYSL3	
620	F279	22 B4 EA	SHLD	CP	
621	F27C	CD 00 EA	CALL	MULAB;	;(B1-B2)*N1 NA VYSL3
622	F27F	3A A0 EA	LDA	NM	

623	F282	32 A1 EA	STA	N
624	F285	21 08 FE	LXI	H, VYSL3
625	F288	22 B0 EA	SHLD	AF
626	F28B	3A CB E1	LDA	DR2
627	F28E	32 A2 EA	STA	M
630	F291	21 48 E2	LXI	H, PN2
631	F294	22 B2 EA	SHLD	BP
632	F297	21 00 FD	LXI	H, VYSL1
633	F29A	22 B4 EA	SHLD	CP
634	F29D	CD 00 EA	CALL	MULAB# ; (B1-B2)*N1*N2 NA VYSL1
635	F2A0	3A A0 EA	LDA	NM
636	F2A3	32 E0 FF	STA	RADM
637	F2A6	21 00 FD	LXI	H, VYSL1
640	F2A9	22 F3 FF	SHLD	ADRBK
641	F2AC	3A E8 FF	LDA	POM2
642	F2AF	32 E1 FF	STA	RADN
643	F2B2	21 D0 FD	LXI	H, VYSL2
644	F2B5	22 F5 FF	SHLD	ADRAK
645	F2B8	3A 00 D0	LDA	NG
646	F2B8	3D	DCR	A
647	F2BC	32 E2 FF	STA	RADK
650	F2BF	21 00 DF	LXI	H, GP
651	F2C2	22 F7 FF	SHLD	ADRGK
652	F2C5	CD 00 F0	CALL	DIVBA# ; CIT/JMEN NA GP
653	F2C8	3A 00 D0	LDA	NG
654	F2C8	3D	DCR	A
655	F2CC	4F	MOV	C, A
656	F2CD	21 00 DF	LXI	H, GP
657	F2D0	CD 4B F1	CALL	MUL1# ; (-1)*CIT/JMEN NA GP
660	F2D3	3A 00 D0	LDA	NG
661	F2D6	3D	DCR	A
662	F2D7	4F	MOV	C, A
663	F2D8	21 00 DF	LXI	H, GP
664	F2DB	CD 05 F1	CALL	MULS# ; S*(-CIT/JMEN) NA GP
665	F2DE	21 F9 FF	LXI	H, PLUS1
666	F2E1	CD 96 46	CALL	FTLXH
667	F2E4	21 00 DF	LXI	H, GP
670	F2E7	CD A4 46	CALL	FTSXH# ; RADA G* NA GP
671	F2EA	C9	RET	
672			END	

=====

SYMBOL TABLE LISTING

PC	F2EB
FTSBX	4404
FTMUL	445F
FTDYX	44C5
FTLXH	4696
FTLYH	469D
FTSXH	46A4
MULWH	4CF8
ADDAB	D2DD
NASS	D590
MULAB	EA00
DIVBA	F000
ADRVE	F0EB
NULVE	F0F8
MULS	F105
DIVS	F12D
MUL1	F14B
MOVE	F172
FCEG	F189
NG	D000
CYKL	D010
CYKL1	D012
CYKL2	D017
ADR2	D028
ADR1	D02A
ADR	D02C
GP	DF00
DR1	E1CA
DR2	E1CB
FM1	E200
PN1	E218
PM2	E230
PN2	E248
NM	EAA0
N	EAA1
M	EAA2
AP	EAB0
BP	EAB2
CP	EAB4
NRV1	FB00
ULD1	FB01
NRV2	FC00
ULD2	FC01
VYSL1	FD00
VYSL2	FDD0
VYSL3	FE08
RADM	FFE0
RADN	FFE1
RADK	FFE2
ADRB	FFE3
ADRA	FFE5
POM1	FFE7
POM2	FFE8
ADRB1	FFE9
ADRA1	FFEB

=====
CROSSASSEMBLER JSA INTEL - MOS-2 DATE 20/05/86 TIME 13:06 PAGE 11
=====

MINUS1	FFED
PP	FFF0
FPK	FFF1
ADRBK	FFF3
ADRAK	FFF5
ADRGK	FFF7
PLUS1	FFF9
ADR6	F036
ADR5	F03E
ADR7	F041
ADR3	F064
ADR4	F097
ADR10	F0C1
ADR20	F0DA
CY103	F0FD
CY100	F10B
CY102	F134
CY101	F159

JSA INTEL END OF ASSEMBLY

PŘÍLOHA č.2

MENO PROGRAMU: LS03
KOMENTAR:

```
1 PROGRAM REID;  
2 COMMENT ZAP KEY  
3 2 STRAN.  
4 4 DRUH IDENTIFIKACE  
5 10 TISK AH,CH,MZV REG.;  
6 DIMENSION A(20),B(20),C(20),H(20),PM(20),PN(40),PMH(20),S(2),CH(20),D(20),  
7 YF(20),DUS(20),YS(20),DUR(20),G(1,50),DA(50),GP(50),DU(50),  
8 U(250),Y(50),V(50),X(50),W(50),Z(50),T(50),F(50),Q(50),G1(50),  
9 G2(50),PM1(20),PN1(40),PM2(20),PN2(40),GH(2,50),FY(1,50),B1(20),  
10 PU(50,50),PUI(50,50),C1(20),H1(20),GH1(50),HP(20),PNP(40),A1(20);  
11 NM=20;  
12 MN=50;  
13 LM=50;  
14 ML=50;  
15 MG=50;  
16 ML1=100;  
17 K=1;  
18 READREAD,N,NB,NC,NH,NPM,NPN,M,LG;  
19 IF KEY(2),53,55;  
20 53 I=11;  
21 WRITE LINE,119,I;  
22 119 FORMAT(A1);  
23 55 WRITELINE,100,N,NB,NC,NH,NPM,NPN,M,LG;  
24 100 FORMAT(  
25 NA=',I3,', NB=',I3,', NC=',I3,', NH=',I3,', NPM=',I3,', NPN=',I3,',  
26 CELK. POCET KR./REG. M=',I8,'POCET KOEF.VAH.FCE.LG=',I3);  
27 DO 30 I=1,N;  
28 I1=I+1;  
29 B(I)=0.0;  
30 CH(I1)=0.0;  
31 H(I)=0.0;  
32 PM1(I1)=0.0;  
33 PN1(I)=0.0;  
34 PM2(I1)=0.0;  
35 30 PN2(I)=0.0;  
36 CALL CTI(A,N);  
37 CALL CTI(B,NB);  
38 CALL CTI(C,NC);  
39 CALL CTI(H,NH);  
40 CALL CTI(PM1,NPM);  
41 CALL CTI(PN1,NPN);  
42 CALL CTI(PM2,NPM);  
43 CALL CTI(PN2,NPN);  
44 WRITE LINE,101;  
45 101 FORMAT(  
46 POLYNOM A');  
47 CALL TI(A,N);  
48 WRITE LINE,102;  
49 102 FORMAT('POLYNOM B');  
50 CALL TI(B,NB);  
51 WRITE LINE,103;  
52 103 FORMAT('POLYNOM C');  
53 CALL TI(C,NC);  
54 WRITE LINE,104;
```

```

56 104 FORMAT('POLYNOM H');
57 CALL TI(H,NH);
58 CALL FAKT(H,X,NH);
59 DO 88 I=1,NH;
60 88 HP(I)=X(I)/X(1);
61 WRITE LINE,107;
62 107 FORMAT('POLYNOM HP');
63 CALL TI(HP,NH);
64 CALL PREM(PM1,PM,NPM);
65 CALL PREM(PN1,PN,NPN);
66 DO 13 II=1,2;
67 WRITE LINE,105;
68 105 FORMAT('POLYNOM PM');
69 CALL TI(PM,NPM);
70 WRITE LINE,106;
71 106 FORMAT('POLYNOM PN');
72 CALL TI(PN,NPN);
73 CALL FAKT(PN,X,NPN);
74 DO 89 I=1,NPN;
75 89 PNP(I)=X(I)*PN(1)/X(1);
76 WRITE LINE,108;
77 108 FORMAT('POLYNOM PNP');
78 CALL TI(PNP,NPN);
79 LG11=LG+1;
80 S(1)=0.1E1;
81 S(2)=-0.1E1;
82 CALL NAS(PM,S,PMH,N,2,N1,NM);
83 CALL NAS(C,S,CH,NC,2,N1,NM);
84 CALL NAS(PMH,C,X,N1,N,LX,ML);
85 CALL NAS(PNP,HP,Y,NPN,NH,LY,ML);
86 CALL NAS(B,C,Z,NB,N,LZ,ML);
87 CALL NAS(A,HP,W,N,NH,LW,ML);
88 DO 16 I=1,K;
89 16 T(I)=0.0;
90 K1=K+1;
91 T(K1)=0.1E1;
92 CALL DEL(X,Y,F,LX,LY,LG11,LM);
93 CALL NAS(T,Z,Y,K1,LZ,LY,ML);
94 CALL DEL(Y,W,V,LY,LW,LG11,LM);
95 CALL DEL(PMH,PNP,T,N1,NPN,LG11,LM);
96 DO 17 I=1,LG11;
97 17 G(1,I)=T(I)-F(I)+V(I);
98 WRITE LINE,18;
99 18 FORMAT(
100 VAHOVA FUNKCE *B* VYPOCTENA");
101 CALL TIS(G,1,LG11,1,MG);
102 CALL GRAF(G,1,LG11,1,MG);
103 LG1=LG-1;
104 CALL PREM(PM2,PM,NPM);
105 CALL PREM(PN2,PN,NPN);
106 13 CONTINUE;
107 CALL DEL(C,HP,W,NC,NH,LG11,LM);
108 DO 36 I=1,LG11;
109 36 GH(1,I)=W(I);
110 WRITE LINE,99;
111 99 FORMAT(
112 POLYNOM GH=C/H VYPOCTENY BEZ IDENTIFIKACE");
113 CALL TIS(GH,1,LG11,2,MG);
114 CALL GRAF(GH,1,LG11,2,MG);
115 CALL DEL(B,A,W,NB,N,LG11,LM);
116 DO 45 I=1,LG11;
117 45 GH(1,I)=W(I);
118 WRITE LINE,46;
119 46 FORMAT(
120 POLYNOM GH=B/A VYPOCTENY BEZ IDENTIFIKACE");

```

```

121 CALL TIS(GH,1,LG11,2,MG);
122 CALL GRAF(GH,1,LG11,2,MG);
123 END;
124
125
126 SUBROUTINE FAKT(A,P,N);
127 DIMENSION A(N),P(N);
128 DIMENSION G(15),F(15),H(100),IM(10),IN(10);
129 DO 1 I=1,N;
130 P(I)=0.0;
131 G(I)=0.0;
132 DO 1 J=1,I;
133 L=I-J+1;
134 1 G(J)=G(J)+A(I)*A(L);
135 P(I)=0.1E1;
136 K=N*N;
137 DO 3 IJ=1,100;
138 DO 4 I=1,K;
139 4 H(I)=0.0;
140 M=0;
141 DO 5 I=1,N;
142 DO 6 J=I,N;
143 L=J+M;
144 L1=J-I+1;
145 H(L)=H(L)+P(L1);
146 L1=L1+M;
147 6 H(L1)=H(L1)+P(J);
148 5 M=M+N;
149 CALL INV(H,N);
150 L=0.1E1;
151 DO 7 I=1,N;
152 F(I)=0.0;
153 DO 7 J=1,N;
154 F(I)=F(I)+H(L)*G(J);
155 7 L=L+1;
156 L=0;
157 DO 8 I=1,N;
158 D=0.5*P(I)+F(I);
159 IF(ABS(P(I)-D)-0.1E-6),10,8,8;
160 10 L=L+1;
161 8 P(I)=D;
162 IF(L-N),3,9,3;
163 3 CONTINUE;
164 9 RETURN;
165 END;
166
167
168 SUBROUTINE PREM(A,B,N);
169 DIMENSION A(N),B(N);
170 DO 11 I=1,N;
171 1 B(I)=A(I);
172 RETURN;
173 END;
174
175 SUBROUTINE CTI(A,N);
176 DIMENSION A(N);
177 DO 1 I=1,N;
178 1 READ READ,A(I);
179 RETURN;
180 END;
181
182 SUBROUTINE NAS(A,B,C,N,M,L,ML);
183 DIMENSION A(N),B(M),C(ML);
184 L=N+M-1;
185 DO 1 I=1,L;

```

```

186 1 C(I)=0.0;
187 DO 2 I=1,N;
188 DO 2 J=1,M;
189 I1=I+J;
190 2 C(I1-1)=C(I1-1)+A(I)*B(J);
191 RETURN;
192 END;
193
194 SUBROUTINE DEL(D,B,C,N,M,L,LM);
195 DIMENSION D(LM),B(LM),C(LM);
196 DIMENSION A(50);
197 DO 6 I=1,N;
198 6 A(I)=D(I);
199 IF(N-M),12,13,14;
200 12 J=N+1;
201 DO 4 I=J,M;
202 4 A(I)=0.0;
203 NS=M;
204 GOTO 15;
205 14 J=M+1;
206 DO 3 I=J,N;
207 3 B(I)=0.0;
208 13 NS=N;
209 15 DO 1 J=1,L;
210 P=A(1)/B(1);
211 C(J)=P;
212 DO 2 I=1,NS;
213 2 A(I)=A(I)-P*B(I);
214 NS1=NS-1;
215 IF(NS1),7,7,8;
216 8 DO 5 I=1,NS1;
217 5 A(I)=A(I+1);
218 7 A(NS)=0.0;
219 1 CONTINUE;
220 RETURN;
221 END;
222
223 SUBROUTINE TI(A,N);
224 DIMENSION A(N);
225 I1=5;
226 WRITE LINE,101;
227 101 FORMAT(
228 ');
229 100 FORMAT(E15.7);
230 DO 3 I=1,N;
231 3 WRITE LINE,100,A(I);
232 I1=I1-1;
233 IF(I1),1,1,3;
234 1 I1=5;
235 WRITE LINE,101;
236 3 CONTINUE;
237 WRITE LINE,101;
238 RETURN;
239 END;
240
241
242 SUBROUTINE INV(A,N);
243 DIMENSION A(N,N);
244      DIMENSION B(90),C(90);
245      INTEGER DIMENSION Z(90);
246      DET=0.1E1;
247 DO 1 I=1,N;
248 1 Z(I)=I;
249      DO 2 I=1,N;

```

```

251      K=I;
252      Y=A(I,I);
253      IP=I+1;
254      IF(IP-N),10,10,13;
255
256      10 DO 3 J=IP,N;
257      W=A(I,J);
258      IF(ABS(W)-ABS(Y)),3,3,4;
259      4 K=J;
260      Y=W;
261      3 CONTINUE;
262
263      13 DET=Y*DET;
264      IF(K-I),5,6,5;
265      5 DET=-DET;
266      6 IF(ABS(Y)),7,7,8;
267      8 Y=0.1E1/Y;
268
269      DO 9 J=1,N;
270      C(J)=A(J,K);
271      A(J,K)=A(J,I);
272      A(J,I)=-C(J)*Y;
273      A(I,J)=A(I,J)*Y;
274      9 B(J)=A(I,J);
275      J=Z(I);
276      Z(I)=Z(K);
277      Z(K)=J;
278      A(I,I)=Y;
279
280      DO 2 K=1,N;
281      IF(K-I),11,2,11;
282      11 DO 20 J=1,N;
283      IF(J-I),12,20,12;
284      12 A(K,J)=A(K,J)-B(J)*C(K);
285      20 CONTINUE;
286      2 CONTINUE;
287
288      DO 14 J=1,N;
289      K=Z(J);
290      16 IF(K-J),15,14,15;
291      15 DO 17 I=1,N;
292      W=A(J,I);
293      A(J,I)=A(K,I);
294
295      17 A(K,I)=W;
296      I=Z(K);
297      Z(K)=Z(J);
298      Z(J)=I;
299      K=I;
300      GOTO 16;
301      14 CONTINUE;
302      7    RETURN;
303      END;
304
305      SUBROUTINE TIS(A,MA,NA,M,N);
306      DIMENSION A(M,N);
307      WRITE LINE,101;
308      101 FORMAT('
309      ');
310      DO 1 I=1,MA;
311      I1=5;
312      DO 2 J=1,NA;
313      WRITE LINE,100,A(I,J);
314      100 FORMAT(E15.7);
315      I1=I1-1;

```

```
316 IF(I1),3,3,2;
317 3 I1=5;
318 WRITE LINE,101;
319 2 CONTINUE;
320 1 WRITE LINE,101;
321 RETURN;
322 END;
323
324 SUBROUTINE GRAF(A,I,J,IM,JM);
325 DIMENSION A(IM,JM);
326 REAL LEV;
327 DIMENSION IZ(10),IZT(170),T1(20),JT(170);
328 IF(I-10),92,92,91;
329 91 I=10;
330 92 IL=2;
331 IP=92;
332 MZR=0;
333 IF KEY(3),71,72;
334 71 IP=147;
335 72 IR=10;
336 LEV=IL;
337 PRAV=IP;
338 RAS=IR;
339 IZ(1)=075; IZ(2)=053; IZ(3)=052;
340 IZ(4)=046; IZ(5)=044; IZ(6)=043;
341 IZ(7)=072; IZ(8)=0130; IZ(9)=045; IZ(10)=055;
342 IF KEY(2),1,2;
343 1 NOV=11;
344 WRITE LINE,66,NOV;
345 2 AMA=A(1,1);
346 AMI=AMA;
347 DO 7 N=1,I;
348 DO 7 K=1,J;
349 IF(AMI-A(N,K)),4,4,5;
350 4 IF(AMA-A(N,K)),6,7,7;
351 5 AMI=A(N,K);
352 GOTO 7;
353 6 AMA=A(N,K);
354 7 CONTINUE;
355 9 WRITE LINE,10;
356 10 FORMAT(
357 PORADI ZNAKU V GRAFU ');
358 DO 11 II=1,I;
359 11 WRITE LINE,12,II,IZ(II);
360 12 FORMAT(I3,A1);
361 A1=AMA-AMI;
362 II=ALOG(A1)/0.2302585E1-0.5;
363 A2=II;
364 II=((A1/0.1E2**A2)+0.5)*0.1E3/RAS;
365 80 IF(II-500),81,85,84;
366 81IF(II-250),82,86,85;
367 82IF(II-200),83,87,86;
368 83IF(II-100),90,88,87;
369 90 II=II*10;
370 A2=A2-0.1E1;
371 GOTO 80;
372 84A1=0.1E2;
373 GOTO 89;
374
375 85A1=0.5E1;
376 GOTO 89;
377 86A1=0.25E1;GOTO 89;
378 87A1=0.2E1;GOTO 89;
379 88A1=0.1E1;
380 89A1=A1*0.1E2**A2;
```

```
381 13 WRITELINE,67,AMI,AMA;
382 67 FORMAT(
383 MIN=',E15.7,', MAX=',E15.7);
384 D=(AMA-AMI)/(PRAV-LEV);
385 II=A1/D-0.5;
386 A2=II;
387 D=A1/A2;
388 A3=((PRAV-LEV)*D-(AMA-AMI))/0.2E1;
389 AMA=AMA+A3;
390 AMI=AMI-A3;
391 A2=AMI-D;
392 JC=0;
393
394 DO 39 II=IL,IP;
395 A2=A2+D;
396 II=A2/A1;
397 A3=II;
398 93 IF(ABS(A2-A1*A3)-D/0.2E1),36,36,38;
399 36 JC=JC+1;
400 JT(II)=056;
401 T1(JC)=A3*A1;
402 GOTO 39;
403 38 JT(II)=040;
404 39 CONTINUE;
405 WRITE LINE,68;
406 68 FORMAT(
407
408 ');
409 IA=IL-1;
410 DO 40 II=1,IA;
411 40 WRITE LINE,41;
412 41 FORMAT(' ');
413 WRITE LINE,42,AMI;
414 42 FORMAT(E15.7);
415 IC=IP-32;
416 DO 43 II=1,IC;
417 43 WRITE LINE,41;
418 WRITE LINE,42,AMA;
419 WRITE LINE,68;
420 DO 44 II=1,IA;
421 JT(II)=040;
422 IZT(II)=040;
423 44 WRITE LINE,41;
424 IB=IP-IL-9;
425 JC=0;
426 IF (JT(IL)-056),35,45,35;
427 35 IF (JT(IL+1)-056),34,45,34;
428 45 JC=1;
429 34 DO 49 II=IL,IB;
430 IF (JT(II+2)-056),48,46,48;
431 46 JC=JC+1;
432 II=II+8;
433 IF (T1(JC)-0.0),52,50,52;
434 50 WRITE LINE,51;
435 51 FORMAT(' 0      ');
436 GO TO 49;
437 52 WRITE LINE,47,T1(JC);
438 47 FORMAT(E9.2);
439 GOTO 49;
440 48 WRITE LINE,41;
441 49 CONTINUE;
442 WRITE LINE,60;
443 JT(IL)=056;
444 JT(IP)=056;
445 IT=9;
```

```
446 53 DO 63 N=1,J;
447 IT=IT+1;
448 IF(IT>10),54,56,56;
449 54 DO 55 II=IL,IP;
450 55 IZT(II)=JT(II);
451 GOTO 58;
452 56 IT=0;
453 IC=IL+3;
454 IB=IP-3;
455 DO 57 II=IC,IB;
456 57 IZT(II)=056;
457 N1=N/10;
458 N2=N1/10;
459 IZT(IL+2)=N1-N2*10+48;
460 N1=N2/10;
461 IZT(IL+1)=N2-N1*10+48;
462 N2=N1/10;
463 IZT(IL)=N1-N2*10+48;
464 IZT(IP)=IZT(IL+2);
465 IZT(IP-1)=IZT(IL+1);
466 IZT(IP-2)=IZT(IL);
467 58 L=I;
468 DO 64 K=1,I;
469 M=((A(L,N)-AMI)/D)+LEV;
470 IZT(M)=IZ(L);
471 64 L=L-1;
472 DO 65 II=1,IP;
473 65 WRITE LINE,66,IZT(II);
474 66 FORMAT(A1);
475 IC=0;
476 59 WRITE LINE,60;
477 60 FORMAT('
');
478 IF(IC=MZR),61,63,63;
480 61 IC=IC+1;
481 DO 62 II=1,IP;
482 62 WRITE LINE,66,JT(II);
483 GO TO 59;
484 63 CONTINUE;
485 WRITELINE,68;
486 RETURN;
487 END;
488 END OF PROGRAM;
489
490
```

PŘÍLOHA č. 3

NA= 2 NB= 2 NC= 2 NH= 2 NPM= 2 NPN= 2
CELK. POCET KR./REG. M= 100POCET KOEF.VAH.FCE.LG= 20

POLYNOM A

0.9999996 -0.4999998

POLYNOM B

0.2999998 0.1999998

POLYNOM C

0.9999996 -0.5999996

POLYNOM H

0.9999996 0.3299998

POLYNOM HP

0.9999996 0.3300000

POLYNOM PM

0.9999996 0.1899999

POLYNOM PN

-0.153900E 1 0.7699995

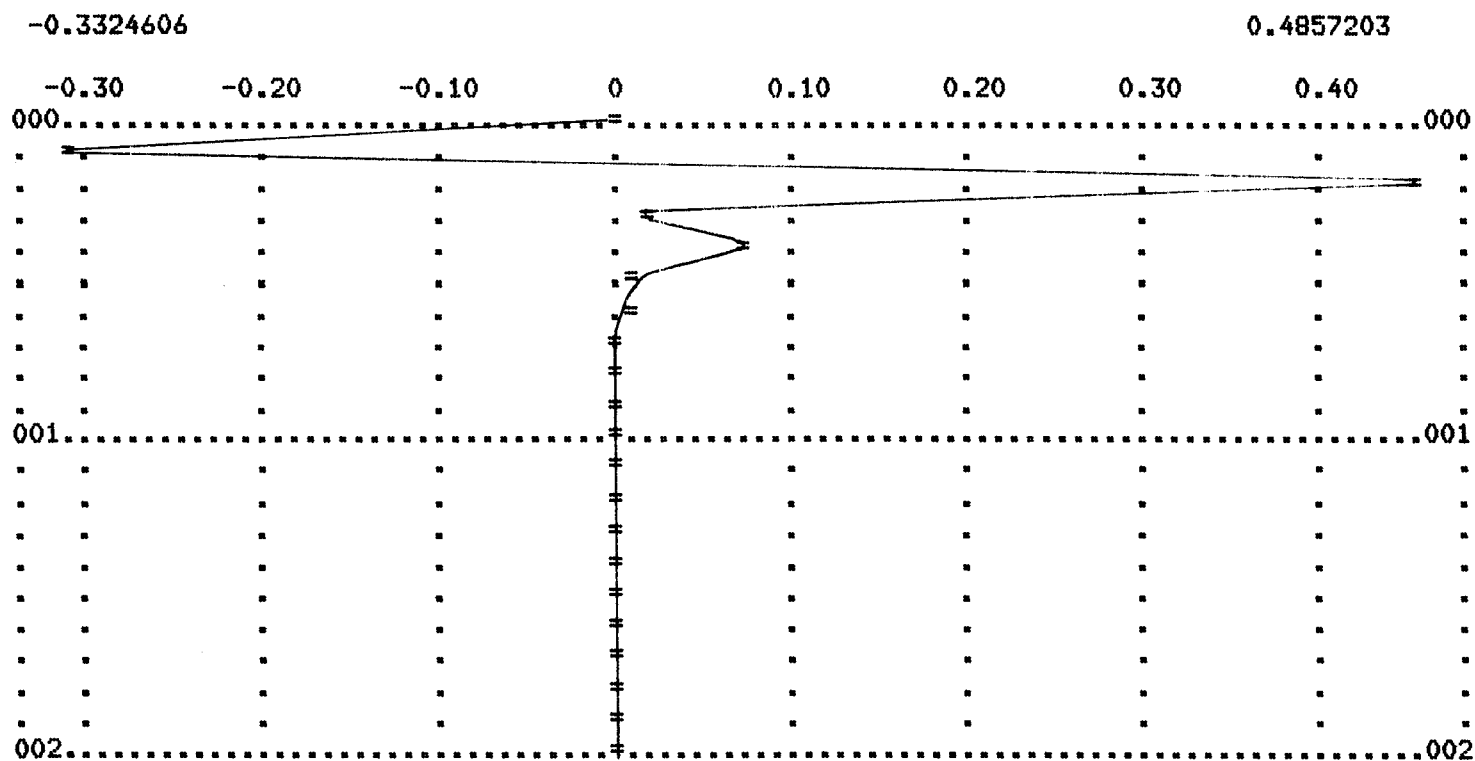
POLYNOM PNP

-0.153900E 1 0.7700001

VAHOVA FUNKCE *B* VYPOCTENA

0	-0.3042881	0.4575478	0.2245113E- 1	0.7937984E- 1
0.1723290E- 1	0.1604424E- 1	0.5579433E- 2	0.3600047E- 2	0.1534739E- 2
0.8559761E- 3	0.3992794E- 3	0.2093795E- 3	0.1016087E- 3	0.5188768E- 4
0.2561967E- 4	0.1293348E- 4	0.6434275E- 5	0.3232021E- 5	0.1613186E- 5
0.8085701E- 6				

PORADI ZNAKU V GRAFU 1=
MIN= -0.3042881 MAX= 0.4575478



POLYNOM PM

0.9999996 0.4999998

POLYNOM PN

-0.4999998E 1 0.4999998

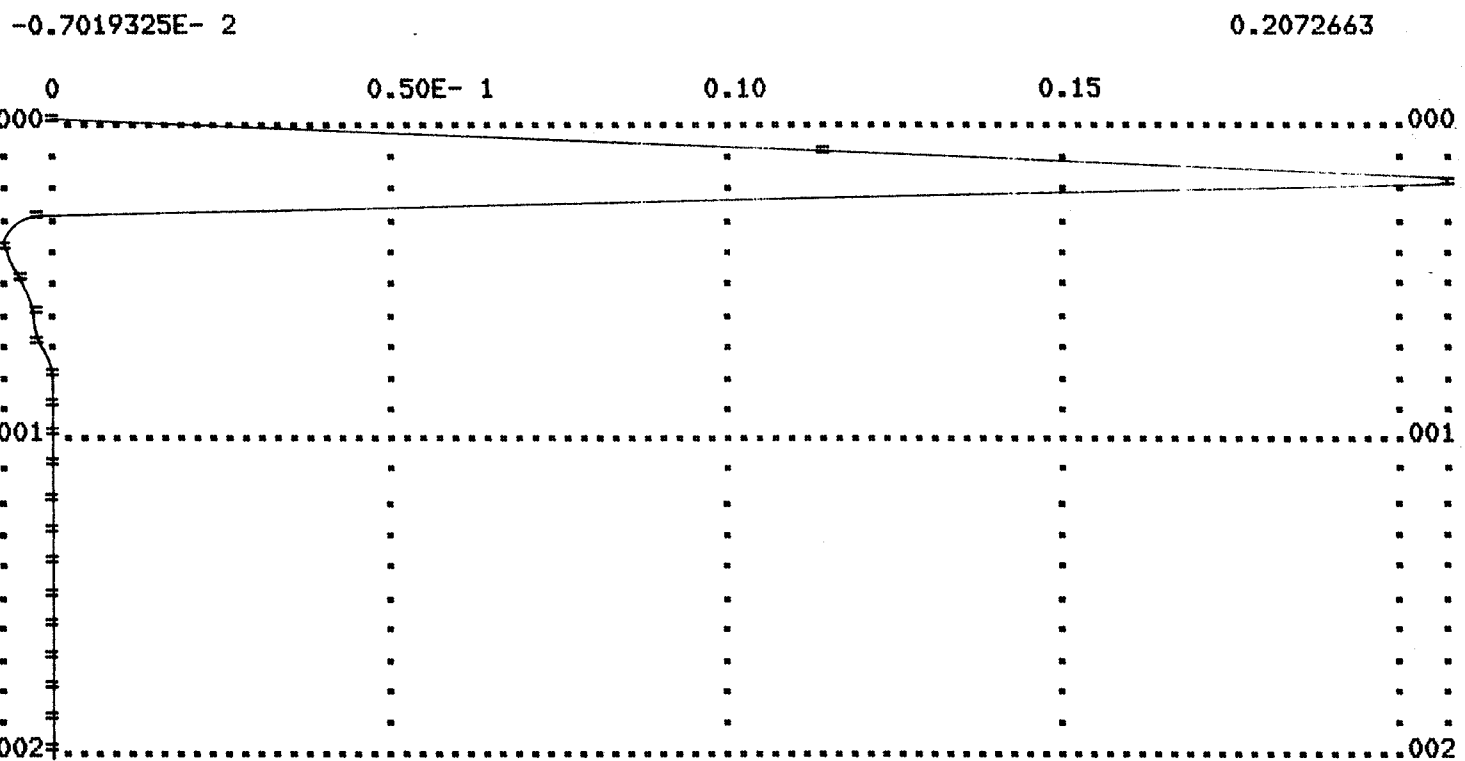
POLYNOM PNP

-0.4999998E 1 0.4999994

VAHOVA FUNKCE *B* VYPOCTENA

0	0.1139998	0.2067799	-0.2797393E- 2	-0.6532833E- 2
-0.5589745E- 2	-0.2429933E- 2	-0.1375572E- 2	-0.6388033E- 3	-0.3359676E- 3
-0.1625572E- 3	-0.8307339E- 4	-0.4094481E- 4	-0.2066776E- 4	-0.1026942E- 4
-0.5155981E- 5	-0.2570970E- 5	-0.1287802E- 5	-0.6431362E- 6	-0.3218205E- 6
-0.1608269E- 6				

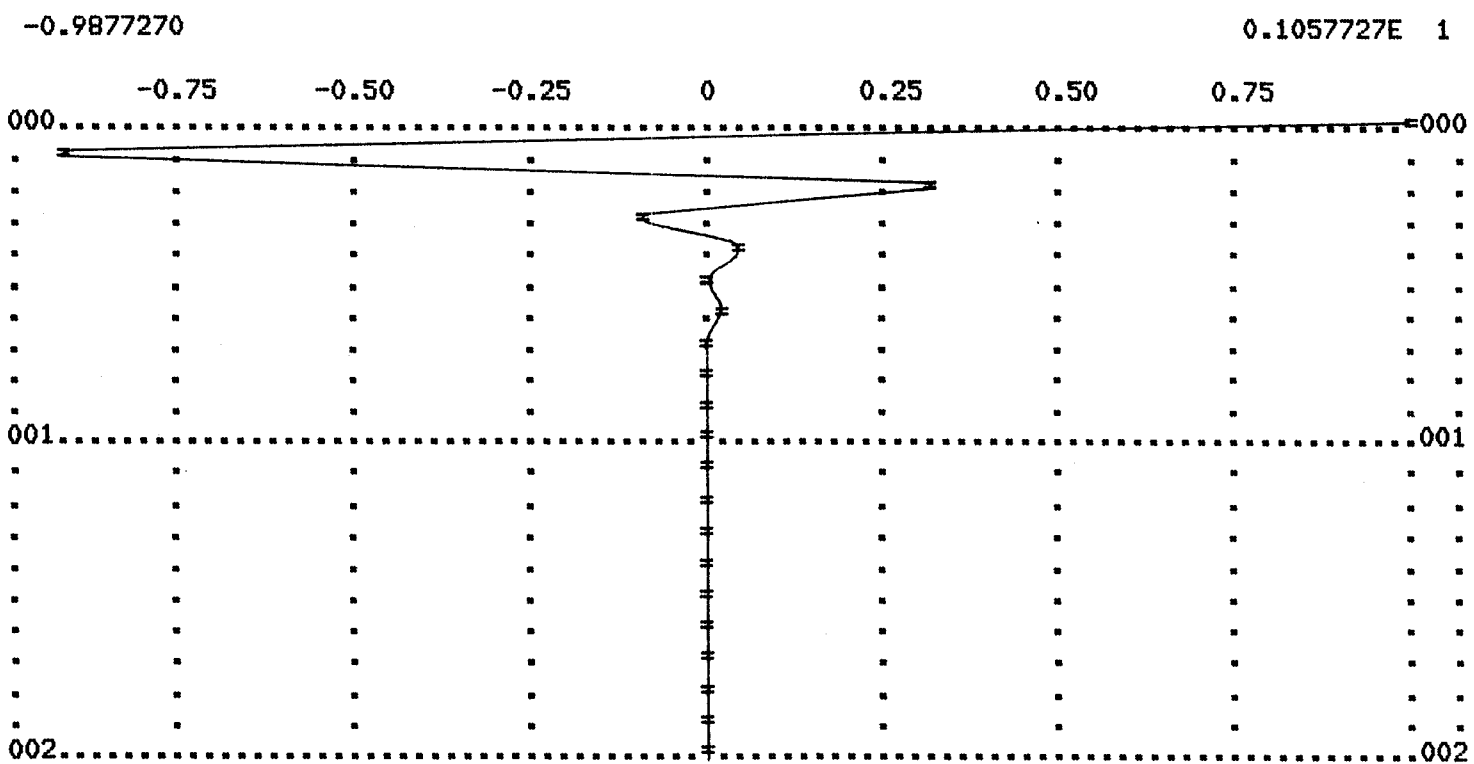
PORADI ZNAKU V GRAFU 1=
MIN= -0.6532833E- 2 MAX= 0.2067799



POLYNOM GH=C/H VYPOCTENY BEZ IDENTIFIKACE

0.9999996	-0.9299995	0.3069000	-0.1012770	0.3342144E- 1
-0.1102908E- 1	0.3639598E- 2	-0.1201068E- 2	0.3963525E- 3	-0.1307964E- 3
0.4316282E- 4	-0.1424374E- 4	0.4700436E- 5	-0.1551145E- 5	0.5118780E- 6
-0.1689198E- 6	0.5574356E- 7	-0.1839539E- 7	0.6070477E- 8	-0.2003259E- 8
0.6610756E- 9				

PORADI ZNAKU V GRAFU 1=
MIN= -0.9299995 MAX= 0.9999996



POLYNOM GH=B/A VYPOCTENY BEZ IDENTIFIKACE

0.2999998	0.3499998	0.1749999	0.8749996E- 1	0.4374998E- 1
0.2187499E- 1	0.1093750E- 1	0.5468746E- 2	0.2734373E- 2	0.1367187E- 2
0.6835932E- 3	0.3417966E- 3	0.1708983E- 3	0.8544914E- 4	0.4272457E- 4
0.2136229E- 4	0.1068114E- 4	0.5340570E- 5	0.2670285E- 5	0.1335143E- 5
0.6675711E- 6				

PORADI ZNAKU V GRAFU 1=
MIN= 0.6675711E- 6 MAX= 0.3499998

